

บทที่ 2

หลักการและทฤษฎี

วิธีการไฟโนต์อัลเมนต์

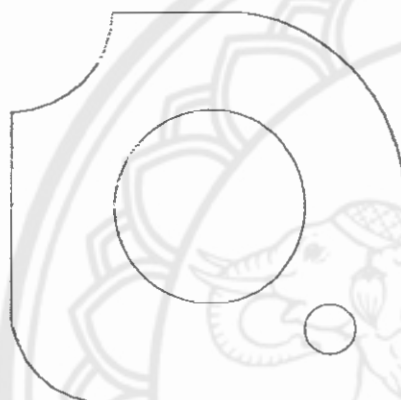
บทนำ

ความสามารถในการแก้ปัญหาทางค้านวิศวกรรมศาสตร์และวิทยาศาสตร์ มีส่วนอย่างมากในการสร้างเสริมปรับปรุงความเป็นอยู่ของมนุษย์ให้ดียิ่งขึ้น ปราบภารณ์ส่วนใหญ่ที่เกิดขึ้นรอบตัวสามารถอธิบายได้โดยกฎเกณฑ์ทางฟิสิกส์และทำการประดิษฐ์ขึ้นมาในลักษณะของสมการต่างๆ ได้ ซึ่งอาจจะอยู่ในรูปแบบของสมการเชิงอนุพันธ์ (differential equation) หรือในรูปแบบของสมการอินทิกรัล (integral equation) เป็นต้น ดังตัวอย่างเช่น การคำนวณหาการกระจายอุณหภูมินิร่องบันทึกของรถชนตัว เจ้าเริ่มมาจากสมการเชิงอนุพันธ์ที่อธิบายสถานะของความสมดุลในการถ่ายเทความร้อน [1] การคำนวณออกแบบโครงสร้างนั้นภายในได้แรงกดดันของอากาศในขณะทำการบิน [2] รวมไปถึงการทำนายพิศวงและความเร็วของการแสลงจากพายุได้ผุ่นเพื่อที่จะอ่านว่าเดือนประชาชนในพื้นที่ที่ได้ผุ่นจะเคลื่อนไหวไปในการอพยพหนักอาจเริ่มมาจากสมการเชิงอนุพันธ์ที่อธิบายสถานะของความสมดุลของการไฟฟ้า เป็นต้น

สมการเชิงอนุพันธ์ที่สอดคล้องกับปัญหาต่างๆ นั้น ปกติจะประดิษฐ์ขึ้นมาได้โดยไม่ยากเลย หากแต่ว่าผลเฉลยแม่นตรง (exact solution) ที่ต้องการและจำเป็นต้องทำการหาอุปกรณ์วิเคราะห์ (analytical method) นั้นทำได้ยากลำบากมากหรืออาจจะไม่ได้เลยก็ได้ เหตุผลดังกล่าวก่อให้เกิดวิธีการหาผลเฉลยโดยประมาณ (approximate solution) ขึ้น วิธีการหาผลเฉลยโดยประมาณ (approximate methods) นั้นมีหลายๆ วิธีการ วิธีการที่ได้รับความนิยมกันอย่างกว้างขวางในอดีตที่ผ่านมา คือ วิธีการผลต่างสืบเนื่อง (finite difference method)

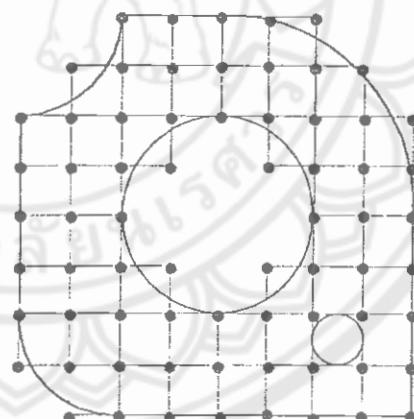
หลักการที่สำคัญของวิธีการผลต่างสืบเนื่องคือการหาค่าผลเฉลยโดยประมาณ โดยเริ่มจากการเขียนสมการเชิงอนุพันธ์ให้อยู่ในรูปแบบของระบบสมการผลต่างสืบเนื่อง (system of difference equations) ข้อดีของวิธีการผลต่างสืบเนื่องนี้คือ วิธีการดังกล่าวเป็นวิธีการที่ง่ายแก่การศึกษาและการทำความเข้าใจ รวมไปถึงความสะดวกในการเขียนโปรแกรมคอมพิวเตอร์เพื่อใช้ในการคำนวณหาผลเฉลยของปัญหานั้นๆ ส่วนข้อเสียของการใช้วิธีการผลต่างสืบเนื่องคือมีหลายประการ เช่น ความไม่สะดวกในการกำหนดเงื่อนไขของเขต (application of boundary conditions) และที่สำคัญที่สุดคือความยากลำบากในการประยุกต์วิธีการนี้เพื่อใช้กับปัญหาที่มีรูปร่างลักษณะซับซ้อน ซึ่งการออกแบบสิ่งที่มีรูปร่างลักษณะซับซ้อนในปัจจุบันนี้ ได้กลายเป็นสิ่งที่จำเป็นเพื่อการพัฒนาปรับปรุงคุณภาพสิ่งของนั้นๆ ให้ดียิ่งขึ้น

รูป 2.1 (ก) แสดงลักษณะของแผ่นโลหะอะลูมิเนียมลักษณะหนึ่งที่ใช้เสริมความแข็งแรงของโครงสร้างภายในปีกของเครื่องบิน แผ่นโลหะดังกล่าวประกอบด้วยขอบรอบนอกที่ประกอบด้วยขอบตรงและขอบโค้ง โดยภายในมีรูกลมสองขนาดในตำแหน่งที่ต่างกัน การวิเคราะห์การกระจายของความคื้น (stress distribution) บนแผ่นอะลูมิเนียมนี้ภายใต้แรงกระทำที่กำหนดให้โดยการใช้วิธีการผลต่างสืบเนื่อง (finite difference method) จะเริ่มจากการแบ่งแผ่นอะลูมิเนียมนี้ออกเป็นช่องตารางสี่เหลี่ยมดังแสดงในรูป 2.1 (ข) โดยที่ตารางสี่เหลี่ยมนี้ เหล่านี้ต่อ กันที่จุดต่อ (grid points) ตามหัวนมของสี่เหลี่ยมต่างๆ และขนาดของปัญหาหรือจำนวนตัวไม่รู้ค่า (number of unknowns) จะขึ้นอยู่กับจำนวนของจุดต่อหนึ่ง



รูป 2.1 (ก) แผ่นอะลูมิเนียมที่ประกอบด้วยขอบโค้งและขอบตรง รวมทั้งรูกลมสองขนาดภายใน

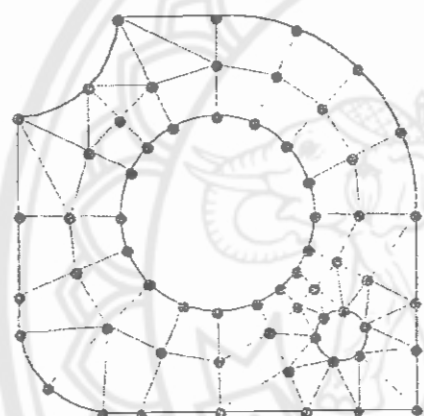
รูป 2.1 (ข) การวิเคราะห์ภาพผลเฉลยบนแผ่นอะลูมิเนียมด้วยการใช้วิธีการผลต่างสืบเนื่อง



รูป 2.1 (ข) นี้ แสดงให้เห็นว่าตารางสี่เหลี่ยมที่ใช้ในวิธีการผลต่างสืบเนื่อง ไม่สามารถจำลองรูปร่างลักษณะตั้งเดิมที่แท้จริงของแผ่นอะลูมิเนียมดังกล่าวได้โดยเท็งครง หากใช้ขนาดตารางสี่เหลี่ยมให้มีขนาดเล็กลงซึ่งหมายถึงต้องเพิ่มจำนวนตารางสี่เหลี่ยมให้มากขึ้นก็จะสามารถจำลองรูปร่างลักษณะตั้งเดิมที่แท้จริงได้ ิกลักษณะมากยิ่งขึ้น แต่ในขณะเดียวกัน จำนวนจุดต่อที่เพิ่มมากขึ้นจะทำให้จำนวนสมการผลต่างสืบเนื่องมากขึ้น

ด้วย และกระบวนการในการแก้ปัญหาจำเป็นต้องการหน่วยความจำบันทึกร่องคอมพิวเตอร์เพิ่มขึ้นรวมถึงเวลาที่ใช้ในการคำนวณจะสูงมากขึ้นตามไปด้วย

สาเหตุของความยากลำบากกล่าวมีส่วนก่อให้เกิดวิธีการหาผลเฉลยโดยประมาณวิธีใหม่ที่เรียกว่าวิธีการไฟไนต์อเลิมเม้นต์ (finite element method) ที่นิยมเรียกคำว่า FEM ซึ่งวิธีการนี้สามารถนำมาใช้กับปัญหาที่มีรูปร่างลักษณะซับซ้อน เช่น ไดร์ฟ โดยสามารถจำลองรูปร่างลักษณะดังเดิมที่แท้จริง ได้ใกล้เคียงเท่าบุญครองกว่าหลักการของวิธีการนี้ในขั้นต้นก็ถ้ายังกับวิธีการผลต่างสืบเนื่อง กล่าวคือ เริ่มจากการแบ่งรูปร่างของปัญหาออกเป็นเนื้อที่หลายๆ ชิ้นที่เรียกว่าอเลิมเม้นต์ เช่น ในดัวอย่างของแผ่นอะลูมิเนียมเดินนีสามารถแบ่งแผ่นอะลูมิเนียมออกเป็นอเลิมเม้นต์ขนาดต่างๆ กัน โดยอเลิมเม้นต์ต่างๆ นี้อาจอยู่ในรูปลักษณะของสามเหลี่ยมและสี่เหลี่ยมด้านไม่เท่ากันได้ ดังเช่นแสดงในรูป 2.1 (ค)



รูป 2.1 (ค) การวิเคราะห์หาผลเฉลยบนแผ่นอะลูมิเนียม
ด้วยการใช้วิธีการไฟไนต์อเลิมเม้นต์

ผลประโยชน์สิ่งแรกที่เห็นได้ชัดจากรูป 2.1 (ค) เมื่อเปรียบเทียบกับวิธีการผลต่างสืบเนื่องที่แสดงในรูป 2.1 (ข) ก็คือ วิธีการไฟไนต์อเลิมเม้นต์ประกอบด้วยอเลิมเม้นต์ขนาดต่างๆ กันที่สามารถจำลองรูปร่างลักษณะดังเดิมของแผ่นอะลูมิเนียมได้เป็นอย่างดี ซึ่งหมายถึงว่าปัญหานี้จะถูกแก้เพื่อหาผลเฉลยโดยประมาณจากแบบจำลองทางคณิตศาสตร์ (mathematical method) ที่มีรูปร่างลักษณะใกล้เคียงกับของจริงดังเดิมมากที่สุด ดังนั้นค่าผลเฉลยโดยประมาณที่จะคำนวณออกมาได้จะมีความแม่นยำมากขึ้นตามไปด้วย

วิธีการไฟไนต์อเลิมентаลีโอ慌

ในการแก้ปัญหาได้ปัญหานั่ง ปัญหานั้นจะประกอบด้วยสมการเชิงอนุพันธ์และเงื่อนไขขอบเขตที่กำหนดมาให้ ค่าผลเฉลยเม่นตรง (exact solution) ของปัญหาดังกล่าวจะประกอบด้วยค่าของตัวแปรต่างๆ กันตามตำแหน่งต่างๆ บนรูปร่างลักษณะของปัญหานั้น หรือถ้าวอิกนิยหนึ่งก็คือ ค่าผลเฉลยเม่นตรงจะประกอบด้วยค่าต่างๆ ทั้งหมดนับเป็นจำนวนอนันต์ แทนที่จะทำการหาค่าเม่นตรงที่ประกอบด้วยค่าต่างๆ จำนวนมากมาเช่นนี้ ซึ่งสำหรับปัญหาในทางปฏิบัติจะทำไม่ได้ หลักการก็คือทำการเปลี่ยนค่าทั้งหมดที่มีจำนวนอนันต์ค่านั้นมาเป็นค่าโดยประมาณที่มีจำนวนที่นับได้ (finite) ด้วยการแทนรูปร่างลักษณะของปัญหาด้วยอเลิมณต์ (elements) ซึ่งมีขนาดต่างๆ กัน ดังเช่นแสดงในตัวอย่างแห่งอะลูมิเนียมในรูป 2.1 (ค)

วิธีการดังกล่าวชี้บ่งเป็นนัยว่า ผลเฉลยของแต่ละอเลิมณต์นั้นจำเป็นต้องสอดคล้อง (satisfy) กับสมการเชิงอนุพันธ์และเงื่อนไขขอบเขตที่กำหนดมาให้ในปัญหานั้นๆ ซึ่งหมายความว่า หลักการของวิธีการไฟไนต์อเลิมณต์จะเริ่มดันจากการพิจารณาอเลิมณต์ที่ละอเลิมณต์ โดยทำการสร้างสมการสำหรับแต่ละอเลิมณต์ที่ตั้งอยู่บนรากฐานที่ว่า สมการที่สร้างขึ้นมาแน่นหนาเป็นต้องสอดคล้องกับสมการเชิงอนุพันธ์ของปัญหาที่ทำอยู่นั้น จากนั้นจึงนำสมการของแต่ละอเลิมณต์ที่สร้างขึ้นมาได้มาประกอบกันเข้ากันให้เกิดระบบสมการชุดใหญ่ ซึ่งในความหมายทางภาษาพื้นถิ่นก็คือว่า สมการที่สร้างขึ้นมาได้มาประกอบกันเข้ากันให้เกิดเป็นรูปร่างลักษณะทั้งหมดของปัญหาที่แท้จริง จากนั้นจึงทำการกำหนดเงื่อนไขขอบเขตที่ให้มาระบบสมการชุดใหญ่นี้ แล้วจึงทำการแก้สมการดังกล่าว ซึ่งจะก่อให้เกิดผลเฉลยโดยประมาณที่ต้องการ ณ ตำแหน่งต่างๆ ของปัญหานั้น

จากคำอธินายนี้จะเห็นได้ว่า ความแม่นยำของค่าผลเฉลยโดยประมาณที่คำนวณออกมายังไนน์จะขึ้นอยู่กับขนาดและจำนวนของอเลิมณต์ที่ใช้ในการแก้ปัญหานั้น นอกจากนั้นความแม่นยำของผลเฉลยซึ่งเราจะศึกษาโดยละเอียดในบทต่อๆ ไป ยังขึ้นอยู่กับการสมมติฐานรูปแบบของฟังก์ชันการประมาณภายใน (interpolation functions) ที่ใช้กับแต่ละอเลิมณต์นั้น กล่าวคือ ฟังก์ชันการประมาณภายในที่สมมติขึ้นมาในมีความใกล้เคียงกับผลเฉลยเม่นตรงของปัญหานั้นมากน้อยเพียงใด ลักษณะการกระจายของฟังก์ชันการประมาณภายในของอเลิมณต์อาจสมมติให้อยู่ในหลายรูปแบบ อาทิ เช่น รูปแบบของการกระจายเชิงเส้นตรง (linear distribution) เป็นต้น ส่วนขนาด (magnitude) ของฟังก์ชันการประมาณภายในจะขึ้นอยู่กับค่าที่จุดต่อ (nodes) ของอเลิมณต์ ยกตัวอย่าง เช่น หากค่าอุณหภูมิที่จุดต่อที่อยู่ปลายนิ้วทั้งสามของอเลิมณต์รูปสามเหลี่ยมนี้ใช้ฟังก์ชันการประมาณภายในที่อยู่ในรูปแบบของลักษณะการกระจายแบบเชิงเส้นตรงแล้ว อุณหภูมิ ณ ตำแหน่งต่างๆ ในอเลิมณต์รูปสามเหลี่ยมนี้จะเปรียบเป็นรูปเชิงเส้นตรง โดยมีการกระจายของอุณหภูมิระหว่าง 30 ถึง 50 องศาเซลเซียส เป็นต้น

คำอธิบายที่กล่าวมาเป็นคำอธิบายในลักษณะกว้างๆ และคร่าวๆ เพื่อที่จะแสดงให้เห็นภาพรวมของวิธีการไฟไนต์อเลิมเนต์ เป็นดัน เนื่องจากวิธีการผลต่างสืบเนื่อง (finite difference method) [3] เป็นวิธีการหาค่าผลเฉลยโดยประมาณวิธีหนึ่ง เช่นเดียวกับวิธีการไฟไนต์อเลิมเนต์ และเป็นวิธีการที่ง่ายแก่การทำความเข้าใจ รวมทั้งมีลักษณะบางอย่างที่คล้ายคลึงกับวิธีการไฟไนต์อเลิมเนต์ที่เราจะได้พูดเห็นกันต่อไป ดังนั้นในหัวข้อต่อไปนี้ เราจะมาศึกษาวิธีการผลต่างสืบเนื่องโดยยกตัวอย่างง่ายๆ ขึ้นมาก่อน ลักษณะบางอย่างที่เราจะได้พูดเห็นซึ่งเกิดขึ้นจากการนี้จะช่วยเสริมความเข้าใจเมื่อเราเริ่มทำการศึกษาวิธีการไฟไนต์อเลิมเนต์โดยละเอียด

วิธีการผลต่างสืบเนื่องและข้อคล้ายคลึงกับวิธีการไฟไนต์อเลิมเนต์

วิธีที่จะทำให้เกิดความเข้าใจของลำดับขั้นตอนในการหาค่าผลเฉลยโดยประมาณ โดยวิธีการผลต่างสืบเนื่องสามารถทำได้ง่ายๆ ด้วยการยกตัวอย่าง มีหลายปัญหาในงานวิศวกรรมซึ่งมีสมการทางคณิตศาสตร์ที่อยู่ในรูปของสมการลาปลาช (Laplace's equation) อาทิเช่น สมการสมดุลของโครงสร้าง สมการสมดุลของการถ่ายเทความร้อน รวมไปถึงสมการสมดุลของการไหลของชนิด สมการลาปลาชดังกล่าวสำหรับปัญหาใน 2 มิติ บนระนาบ x และ y สามารถเขียนให้อยู่ในรูปของสมการเชิงอนุพันธ์ย่อยได้ดังนี้



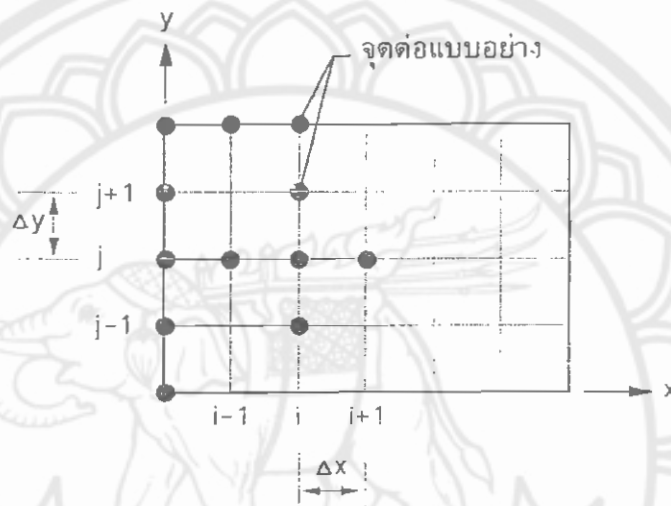
รูป 2.2 รูปร่างลักษณะทั่วไปของอนุเขตของปัญหาที่กำหนดมาให้

$$\begin{aligned}
 \text{โดย } \nabla^2 &= \frac{\partial^2}{\partial x^2} + \frac{\partial^2}{\partial y^2} && \text{เป็นสัญกรณ์ของตัวดำเนินการ (operator notation)} \\
 \phi &= \phi(x, y) && \text{เป็นตัวแปรที่ไม่ทราบค่าซึ่งต้องการหาในเขตภายใน } \Omega \\
 &&& (\text{ เช่น } \phi \text{ อาจแทนการกระจายของอุณหภูมิที่ตำแหน่ง } x, y \text{ ต่างๆ }) \\
 \phi &= f(x, y) && \text{ตกลดบน } \Gamma \\
 &&& (\text{ เช่น } \phi \text{ ตกลดรอบขอบของแทนอุณหภูมิที่กำหนดมาให้เท่ากับ } 30^\circ\text{C})
 \end{aligned}$$

จุดประสงค์ของการแก้ปัญหานี้คือ ต้องการหาค่าผลเฉลยโดยประมาณของ $\phi(x, y)$ ในขอบเขตภายใน Ω โดยการใช้วิธีการผลต่างสี่เหลี่ยมเนื่อง

หลักการในการใช้วิธีการผลต่างสี่เหลี่ยมเนื่องเพื่อหาผลเฉลยโดยประมาณของปัญหา เช่นนี้สามารถทำได้ อย่างง่ายๆ โดยใช้ขั้นตอนเพียง 4 ขั้นตอน ดังต่อไปนี้

ขั้นตอนที่ 1 ทำการสร้างตารางสี่เหลี่ยมลงในรูปร่างลักษณะของปัญหาที่กำหนดมาให้ สมมุตว่ารูปร่างลักษณะของปัญหาที่กำหนดมาให้เป็นรูปสี่เหลี่ยมผืนผ้า ซึ่งอยู่ในระบบ $x-y$ ดังแสดงในรูป 2.3



รูป 2.3 การแบ่งรูปร่างลักษณะของปัญหาออกเป็นตารางสี่เหลี่ยม เพื่อใช้กับวิธีการผลต่างสี่เหลี่ยมเนื่อง

สี่เหลี่ยมเล็กๆ ทั้งหลายที่สร้างขึ้นมา มีขนาด Δx และ Δy ในทางแกน x และ y ตามลำดับ และต่อ กันที่จุดต่อ (grid points) ที่อยู่ในตำแหน่งต่างๆ กัน เช่น จุดต่อ ณ ตำแหน่ง i, j ดังแสดงในรูป 1.3 นี้บ่งถึงจุดต่อที่ $x=1$ และ $y=j$ เป็นต้น และที่จุดต่ออื่นๆ ของเป็นตำแหน่งที่เราจะคำนวณผลเฉลยโดยประมาณ นั่นคือเป็นตำแหน่งของตัวไม่รู้ค่า (unknowns) เช่น สมมติว่าเราคำนวณแก้ปัญหาเกี่ยวกับการถ่ายเทความร้อน ตัวไม่รู้ค่าที่จุดต่อเหล่านี้คือ ผลลัพธ์ของอุณหภูมิที่ต้องการ เป็นต้น

ขั้นตอนที่ 2 ทำการแปลงสมการเชิงอนุพันธ์เบื้องต้นให้อยู่ในรูปของตัวไม่รู้ค่าที่จุดต่อต่างๆ นี้ ในด้านอย่างนี้ สมการเชิงอนุพันธ์เบื้องต้นของเรารีบูตสมการลากลาก

$$\frac{\partial^2 \phi}{\partial x^2} + \frac{\partial^2 \phi}{\partial y^2} = 0 \quad (2.1)$$

โดยที่เราสามารถที่จะเขียนสมการดังกล่าวให้อยู่ในรูปของตัวไม้รู้ค่าที่จุดต่อได้ด้วยการใช้อุปกรณ์泰勒 (Taylor series) เช่น ถ้าอุณหภูมิที่จุดต่อ $i+1$ สามารถเขียนให้อยู่ในรูปของอุณหภูมิที่จุดต่อ ; ได้ดังนี้

$$\begin{aligned}\phi_{i+1} &= \phi_i + \frac{\partial\phi}{\partial x}\Big|_i \Delta x + \frac{1}{2!} \frac{\partial^2\phi}{\partial x^2}\Big|_i (\Delta x)^2 + \frac{1}{3!} \frac{\partial^3\phi}{\partial x^3}\Big|_i (\Delta x)^3 \\ &\quad + \frac{1}{4!} \frac{\partial^4\phi}{\partial x^4}\Big|_i (\Delta x)^4 + \dots\end{aligned}\quad (2.2)$$

ในทำนองเดียวกัน ถ้าอุณหภูมิที่จุดต่อ $i-1$ ก็สามารถเขียนให้อยู่ในรูปของอุณหภูมิที่จุดต่อ i ได้ดังนี้

$$\begin{aligned}\phi_{i-1} &= \phi_i - \frac{\partial\phi}{\partial x}\Big|_i \Delta x + \frac{1}{2!} \frac{\partial^2\phi}{\partial x^2}\Big|_i (\Delta x)^2 - \frac{1}{3!} \frac{\partial^3\phi}{\partial x^3}\Big|_i (\Delta x)^3 \\ &\quad + \frac{1}{4!} \frac{\partial^4\phi}{\partial x^4}\Big|_i (\Delta x)^4 - \dots\end{aligned}\quad (2.3)$$

หากเรานำสมการ (2.2) และ (2.3) นี้มารวมกัน จะได้

$$\phi_{i+1} + \phi_{i-1} = 2\phi_i + \frac{2}{2!} \frac{\partial^2\phi}{\partial x^2}\Big|_i (\Delta x)^2 + \frac{2}{4!} \frac{\partial^4\phi}{\partial x^4}\Big|_i (\Delta x)^4 + \dots\quad (2.4)$$

เนื่องจากเราต้องการพจน์อนุพันธ์อันดับสอง (second order term) ซึ่งคือพจน์ $\frac{\partial^2\phi}{\partial x^2}$ เพื่อที่จะแทนลงในสมการของลาป拉斯 (2.1) เราจึงตัดพจน์อนุพันธ์ที่มีอันดับที่สูงๆ ขึ้นไปในสมการ (2.4) ทิ้ง ซึ่งจะก่อให้เกิดค่าของพจน์อนุพันธ์อันดับสอง โดยประมาณคือ

$$\frac{\partial^2\phi}{\partial x^2} \cong \frac{\phi_{i+1} - 2\phi_i + \phi_{i-1}}{(\Delta x)^2}\quad (2.5)$$

ในทำนองเดียวกัน หากเราดำเนินการเช่นเดียวกันในทางแกน y เราจะได้

$$\frac{\partial^2\phi}{\partial y^2} \cong \frac{\phi_{j+1} - 2\phi_j + \phi_{j-1}}{(\Delta y)^2}\quad (2.6)$$

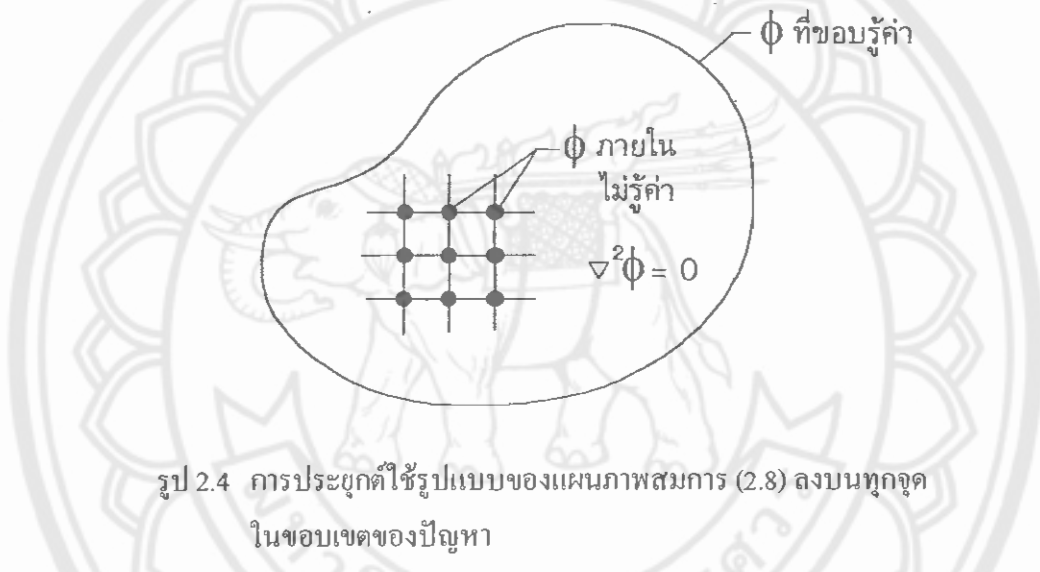
หลังจากแทนพจน์อนุพันธ์อันดับสองจากสมการ (2.5) และ (2.6) ลงในสมการลาป拉斯 (1.1) และหากใช้ Δx เท่ากับ Δy เราจะได้

$$\phi_{i+1} + \phi_{i-1} + \phi_{j+1} + \phi_{j-1} - 4\phi_i = 0\quad (2.7)$$

ซึ่งอาจเขียนให้อยู่ในรูปแบบของแผนภาพสมการ (stencil form) เพื่อสะดวกในการประยุกต์ใช้ได้ดังนี้

$$\begin{array}{ccccc}
 & & 1 & & \\
 & & \downarrow & & \\
 & 1 & -4 & 1 & \\
 & \downarrow & & \downarrow & \\
 & 1 & & &
 \end{array} = 0 \quad (2.8)$$

ในการแก้ปัญหาที่กำหนดมาให้เพื่อหาผลเฉลยโดยประมาณ เราจะประยุกต์รูปแบบของแผนภาพสมการ (2.8) นั้นลงในทุกๆ จุดต่อที่อยู่ภายใต้ขอบเขตของปัญหานั้น ดังแสดงในรูป 2.4

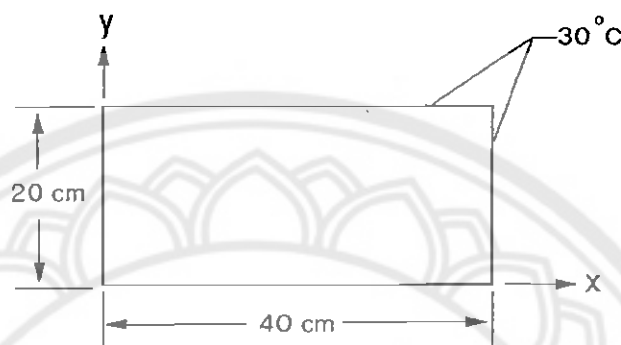


รูป 2.4 การประยุกต์ใช้รูปแบบของแผนภาพสมการ (2.8) ลงบนทุกจุด
ในขอบเขตของปัญหา

ขั้นตอนที่ 3 ทำการประยุกต์รูปแบบของแผนภาพสมการ (2.8) ลงในทุกๆ จุดต่อที่อยู่ในขอบเขตภายในของปัญหานั้น จะก่อให้เกิดระบบของสมการพร้อมกัน (a set of simultaneous equations) นั้น โดยมีตัวที่ไม่รู้ค่า เช่น ϕ_i , ϕ_{i+1} ณ ที่จุดต่อต่างๆ ภายในขอบเขตของปัญหานั้น

ขั้นตอนที่ 4 ทำการแก้ระบบของสมการที่เกิดขึ้นมาแล้ว เพื่อหาค่าโดยประมาณของตัวไม่รู้ค่า (unknowns) ณ ที่จุดต่อต่างๆ

เพื่อทำให้เกิดความเข้าใจในการใช้วิธีการผลต่างสีบเนื่องโดยใช้ขั้นตอนทั้ง 4 ขั้นตอนดังที่ได้อธิบายมา เราจะมาดูตัวอย่างดังต่อไปนี้ ซึ่งเป็นตัวอย่างของการถ่ายเทความร้อนเพื่อการหาอุณหภูมิ ณ จุดต่างๆ บนแผ่นระหว่าง และจากตัวอย่างนี้เองเราจะพนเห็นลักษณะของสมการคลาบฯ ชนิดที่เกิดมาจากการใช้วิธีการผลต่างสีบเนื่องนี้ ซึ่งสามารถทำความเข้าใจได้ง่ายและมีประโยชน์ต่อเนื่องเพื่อการทำความเข้าใจวิธีการไฟในต่อไป



รูป 2.5 แผ่นโลหะที่ต้องการทราบกระบวนการระบายของอุณหภูมิโดยวิธีการผลต่างสีบเนื่อง

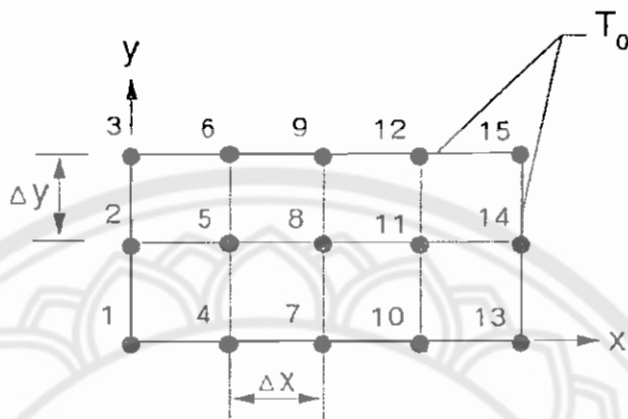
ตัวอย่างที่ 2.1 แผ่นโลหะขนาดกว้าง 40 cm และกว้าง 20 cm ดังแสดงในรูป 2.5 เกิดการถ่ายเทความร้อนภายในได้สถานะอยู่ตัว (steady-state heat transfer) ซึ่งอธิบายได้ด้วยสมการเชิงอนุพันธ์ขอยในรูปแบบของสมการคลาบฯ ดังนี้

$$\nabla^2 T = \frac{\partial^2 T}{\partial x^2} + \frac{\partial^2 T}{\partial y^2} = 0 \quad (2.9)$$

หากที่ขอบรอบนอกทั้ง 4 ด้านของแผ่นโลหะนี้มีอุณหภูมิเท่ากับ 30°C ให้คำนวณหาค่าการระบายของอุณหภูมิภายในแผ่นโลหะโดยการใช้วิธีการผลต่างสีบเนื่อง

วิธีทำ เราจะดำเนินการตามลำดับขั้นตอนทั้ง 4 ขั้นตอนดังที่ได้อธิบายมา ดังนี้

ขั้นตอนที่ 1 ทำการสร้างตารางที่เหลี่ยมดังแสดงในรูป 2.6 โดยแต่ละสี่เหลี่ยมนี้ขนาด $10 \times 10 \text{ cm}$ ($\Delta x = \Delta y = 10 \text{ cm}$) และสี่เหลี่ยมเหล่านี้ต่อ กันที่จุดต่อ ซึ่งเป็นตำแหน่งที่เราจะหาค่าของอุณหภูมิ ซึ่งในรูปนี้มีจุดต่อทั้งสิ้น 15 จุดต่อ เนื่องจากการอนของแผ่นโลหะนี้ถูกกำหนดให้มีอุณหภูมิ $T_0 = 30^\circ\text{C}$ นั่นหมายถึงว่า อุณหภูมิที่จุดต่อทุกจุดในรูปนี้รักษา恒定 ยกเว้นที่จุดต่อหมายเลข 5, 8 และ 11 ดังนั้นตัวไม้รู้ค่าของปัญหานี้คือ อุณหภูมิ T_s , T_8 และ T_{11} ซึ่งก็มีเพียงแค่ 3 ค่าเท่านั้น



รูป 2.6 การแบ่งແພັນໄລທະອກເປົ້າຕາງສື່ເໜີຍມໂດຍວິທີກາຣຝລູດຕ່າງສືບເນື່ອ

ขั้นตอนที่ 2 ทำการประยົກຕຽບແບບຂອງແພັນກາພສມການ (2.8) ຄືດ

$$\begin{array}{ccccc}
 & 1 & & & \\
 & \downarrow & & & \\
 1 & -4 & 1 & = & 0 \\
 & \uparrow & \uparrow & & \\
 & 1 & & &
 \end{array} \tag{2.8}$$

ລວມ ຈຸດຕ່ອທິໄມຮູຄ່ານີ້ ເຊັ່ນ ມາກເຮົາປະຢູກຕໍດັ່ງ ລວມ ຈຸດຕ່ອໝາຍເລຂ 5 ເຮົາຈະໄດ້ສມກາຣີວ່າ

$$T_2 + T_6 + T_8 + T_4 - 4T_5 = 0$$

ແຕ່ $T_2 = T_6 = T_4$ ທີ່ຈຶ່ງທຳກັນ T_0 ດັ່ງນັ້ນ ສມກາຣີຈຶ່ງກາຍເປັນ

$$4T_5 - T_8 = 3T_0 \tag{2.10}$$

ເຊັ່ນເດີວັນເຮົາປະຢູກຕໍດາງໃນສມກາຣ (2.8) ລວມ ຈຸດຕ່ອໝາຍເລຂ 8 ເຮົາຈະໄດ້

$$T_5 + T_9 + T_{11} + T_7 - 4T_8 = 0$$

ແຕ່ $T_5 = T_7 = T_9$ ສມກາຣີຈຶ່ງກາຍເປັນ

$$-T_5 + 4T_8 - T_{11} = 2T_0 \tag{2.11}$$

และทำนองเดียวกันเราประยุกต์ตารางในสมการ (2.8) ลง ณ จุดต่อหนาายนเลข 11 เราจะได้

$$T_8 + T_{12} + T_{14} + T_{10} - 4T_{11} = 0$$

แต่ $T_{12} = T_{14} = T_{10} = T_0$ สมการนี้จึงกลายเป็น

$$-T_8 + 4T_{11} = T_0 \quad (2.12)$$

ขั้นตอนที่ 3 สมการทั้งสาม (2.10 – 2.12) สามารถนำมาเขียนรวมกันก่อให้เกิดระบบสมการ ได้ดังนี้

$$\begin{aligned} 4T_5 - T_8 &= 3T_0 \\ -T_5 + 4T_8 - T_{11} &= 2T_0 \\ -T_8 + 4T_{11} &= 3T_0 \end{aligned}$$

ซึ่งสามารถหากรเขียนให้อยู่ในรูปเมตริกซ์ ได้ดังนี้

$$\left[\begin{array}{ccc} 4 & -1 & 0 \\ -1 & 4 & -1 \\ 0 & -1 & 4 \end{array} \right] \left\{ \begin{array}{c} T_5 \\ T_8 \\ T_{11} \end{array} \right\} = \left\{ \begin{array}{c} 3T_0 \\ 2T_0 \\ 3T_0 \end{array} \right\} \quad (2.13)$$

และเขียนให้สั้นเข้าได้ในรูปแบบดังนี้

$$[K] \{T\} = \{Q\} \quad (2.14)$$

โดยในที่นี้ปัญหาที่ทำอยู่เป็นปัญหาที่เกี่ยวกับการถ่ายเทความร้อน ดังนี้

[K] เรียกว่า เมตริกซ์การนำ (Condition matrix)

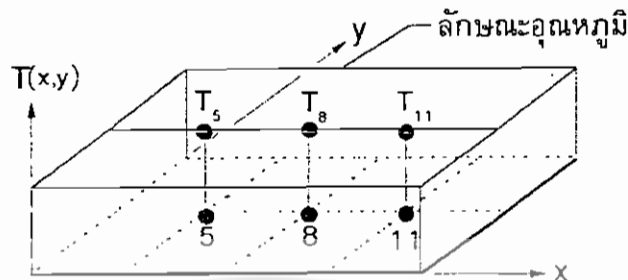
{T} เรียกว่า เมตริกซ์ค่าไม่รู้ค่าที่จุดต่อ (Vector of nodal unknowns)

และ {Q} เรียกว่า เมตริกซ์โหลด (Load vector)

ขั้นตอนที่ 4 ระบบสมการดังแสดงในสมการ (2.13) สามารถแก้ออกมาได้เพื่อหาผลเฉลยซึ่งก็คืออุณหภูมิที่จุดต่อ 5, 8 และ 11 ได้ดังนี้

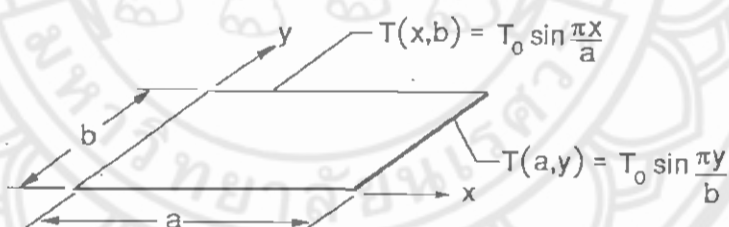
$$T_5 = T_8 = T_{11} = T_0 = 30^\circ C$$

กล่าวคือ ได้อุณหภูมิภายในแผ่น โคละออกมาก่ากันอุณหภูมิที่ขอบนอกที่ 30 องศาเซลเซียส ลักษณะการกระจายของอุณหภูมนีลักษณะที่เป็นค่าคงที่ดังแสดงในรูป 2.7



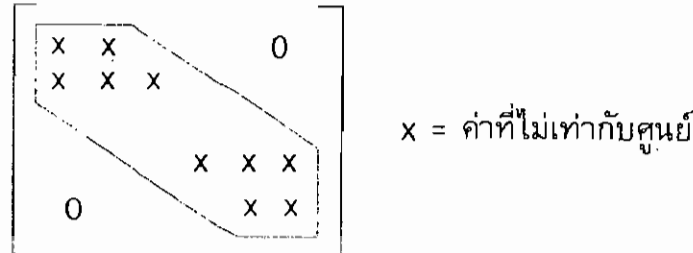
รูป 2.7 ลักษณะการกระจายของอุณหภูมินบนแผ่นโลหะโดยการใช้วิธีการผลด่างสืบเนื่อง

จากรูป 2.7 นี้ ปรากฏว่าอุณหภูมิที่คำนวณออกมาโดยวิธีการผลด่างสืบเนื่องนี้ดังกล่าว ก่อให้เกิดผลลัพธ์ของอุณหภูมิที่เป็นค่าแม่นตรง หากเราขอนกลับไปพิจารณาสมการ (2.5) เราได้ตัดพจน์อนุพันธ์อันดับสูงๆ ทิ้ง และได้ทำการเขียนพจน์อนุพันธ์อันดับสองโดยประมาณขึ้นมา เหตุไรเราจึงได้คำนวณเป็นค่าแม่นตรงสำหรับปัญหานี้ซึ่ง คำนวณก็คือว่าพจน์อนุพันธ์อันดับสูงๆ เหล่านี้นั้นบังเอิญมีค่าเท่ากับศูนย์เฉพาะสำหรับปัญหานี้ เนื่องมาจากอุณหภูมิของรอบแผ่นโลหะนั้นได้ถูกกำหนดมาให้มีค่าที่สม่ำเสมอตลอด แต่หากผ่อนโลหะมีอุณหภูมิที่ขอบรอบไม่สม่ำเสมอ เช่น ดังแสดงในรูป 2.8 ค่าอุณหภูมิ ณ ตำแหน่งจุดต่อ 5, 8 และ 11 จะไม่ได้ผล ออกมามีค่าแม่นตรง ค่าผิดพลาด (solution error) ที่เกิดขึ้นจะมากหรือน้อยขึ้นอยู่กับขนาดของตารางสี่เหลี่ยม และจำนวนจุดต่อทั้งหมดที่ใช้ในการแก้ปัญหานี้ อย่างไรก็ตามวิธีการแก้ปัญหาที่ยังคงเป็นไปตามขั้นตอนทั้ง 4 ขั้นตอน ดังที่ได้อธิบายในตัวอย่างนี้



รูป 2.8 แผ่นโลหะที่มีอุณหภูมิที่ขอบรอบนอกไม่สม่ำเสมอ

ข้อที่น่าสนใจที่ได้พบเห็นจากการศึกษาตัวอย่างนี้และที่จะเกิดขึ้นในทำนองเดียวกันเมื่อเริ่มเรียนรู้วิธีการไฟไนต์อเลิมเม้นต์ ก็คือลักษณะของเมตริกซ์ของการนำความร้อน [K] ดังแสดงในสมการที่ (2.13–2.14) คล่องตัว เมื่อเราพิจารณาเมตริกซ์ [K] ดังกล่าว ก็อ ทำปัญหาที่มีจำนวนสี่เหลี่ยมและจุดต่อเป็นจำนวนมาก เราจะพบว่าเมตริกซ์ [K] นี้ จะมีลักษณะดังแสดงในรูป 2.9



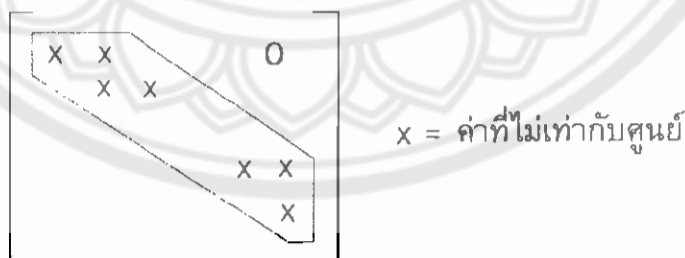
รูป 2.9 ลักษณะของเมตริกซ์ $[K]$ สำหรับปั๊มหัวทั่วไป

กล่าวคือ

- ค่าที่อยู่ในแนวสายมุนกางของเมตริกซ์จะเด่น (diagonal terms dominated)
- ค่าที่อยู่ในแนวสายมุนกางของเมตริกซ์ที่จะมีค่าเป็นบวก
- เมตริกซ์ $[K]$ ดังกล่าวเป็นเมตริกซ์สมมาตร กล่าวคือ $[K] = [K]^T$
- การจับกลุ่มกันของค่าที่ไม่เท่ากับศูนย์ จะมีลักษณะอยู่รวมกันเป็นแถบ (banded matrix)

ดังแสดงในกรอบอธิบายในรูป 2.9

คุณสมบัติของข้อ ค. และ ง. ของเมตริกซ์ $[K]$ ดังกล่าวก่อให้เกิดประโยชน์เป็นอย่างมากในการประดิษฐ์โปรแกรมคอมพิวเตอร์ โดยเฉพาะอย่างยิ่งในทางปฏิบัติที่จำเป็นต้องใช้จำนวนสี่เหลี่ยมและจุดต่อเป็นจำนวนมากเพื่อที่จะก่อให้เกิดผลเฉลยที่เที่ยงตรง ซึ่งจะทำให้เมตริก $[K]$ มีขนาดใหญ่มากแต่เนื้องจาก $[K]$ เป็นเมตริกซ์สมมาตร ประกอบกับสัมประสิทธิ์ที่ไม่เท่ากับศูนย์นั้น จับกลุ่มกันเป็นแถบ โปรแกรมคอมพิวเตอร์ที่ประดิษฐ์ขึ้นมานั้น สามารถประดิษฐ์ให้เก็บเฉพาะค่าที่ไม่เท่ากับศูนย์โดยมีจำนวนเพียงครึ่งหนึ่งของแถบดังแสดงในรูปที่ 2.10 ไว้ในหน่วยความจำเพื่อใช้ในการคำนวณเท่านั้น



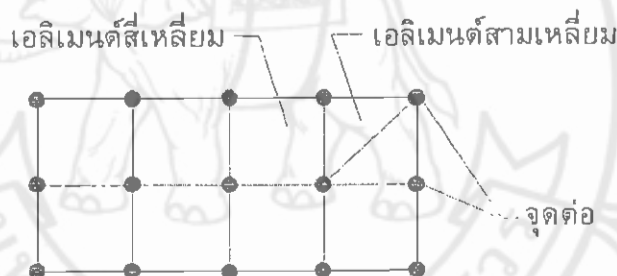
รูป 2.10 การเก็บค่าไม่เท่ากับศูนย์ของเมตริกซ์ $[K]$ ในโปรแกรมคอมพิวเตอร์

ข้อแตกต่างระหว่างวิธีการผลต่างสืบเนื่องกับวิธีการไฟไนต์อเลิเมนต์

จากตัวอย่างการใช้วิธีการผลต่างสืบเนื่องเราจะเห็นได้ว่า วิธีการผลต่างสืบเนื่องเป็นการใช้ระเบียบวิธีทางเชิงเลข (numerical method) เพื่อใช้ในการหาผลเฉลยโดยประมาณของปัญหาที่กำหนดมาให้ หลักการของวิธีการนี้คือการแทนตัวอนุพันธ์ (derivatives) ที่ปรากฏอยู่ในสมการเชิงอนุพันธ์ด้วยสมการทางพีชคณิต โดยประมาณ (algebraic approximation) ซึ่งอยู่ในรูปของตัวแปรตาม (dependent variables) ณ จุดต่อต่างๆ (grid points) ในขอบเขตของรูปประจำตัวลักษณะของปัญหานั้น

ส่วนวิธีการไฟไนต์อเลิเมนต์ เป็นการใช้ระเบียบวิธีทางเชิงเลขเพื่อหาผลลัพธ์โดยประมาณของปัญหาที่กำหนดมาให้เข่นกัน โดยแบ่งรูปประจำตัวลักษณะของปัญหาที่จะใช้คำนวณออกเป็นชิ้นส่วนย่อยๆ ที่เรียกว่าอเลิเมนต์ (elements) อเลิเมนต์เหล่านี้เชื่อมต่อกันที่จุดต่อ (nodes) ซึ่งเป็นตำแหน่งที่จะคำนวณหาค่าตัวแปรตาม (dependent variables) ที่ต้องการ

หากเราจะใช้วิธีการไฟไนต์อเลิเมนต์กับตัวอย่างในการหาการกระจายของอุณหภูมิในแผ่นโลหะดังได้ แสดงในรูป 2.5 ตั่งแรกที่เราจำเป็นต้องดำเนินการคือการแบ่งແผ่นโลหะนี้ออกเป็นชิ้นส่วนย่อยๆ ดังเช่นแสดงในรูป 2.11 โดยชิ้นส่วนย่อยๆ อาจเป็นอเลิเมนต์ที่มีลักษณะเป็นสี่เหลี่ยมหรือสามเหลี่ยมก็ได้ เป็นต้น

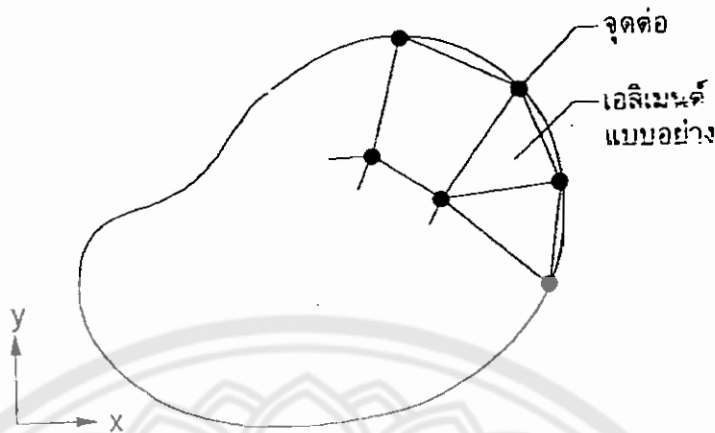


รูป 2.11 การใช้วิธีการไฟไนต์อเลิเมนต์แบ่งແผ่นโลหะออกเป็นอเลิเมนต์ลักษณะต่างๆ กัน

ขั้นตอนทั่วไปของวิธีการไฟไนต์อเลิเมนต์

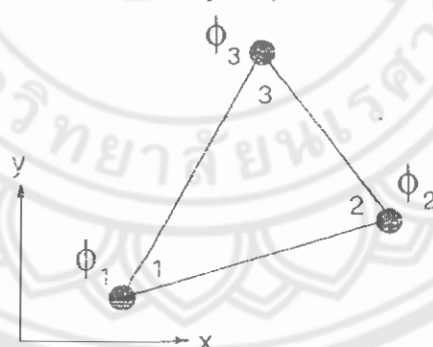
วิธีการไฟไนต์อเลิเมนต์ประกอบด้วยขั้นตอนใหญ่ๆ ทั้งหมด 6 ขั้นตอน ดังต่อไปนี้

ขั้นตอนที่ 1 การแบ่งเขตด้วยรูปประจำตัวลักษณะของปัญหาที่ต้องการที่จะหาผลลัพธ์นั้นออกเป็นอเลิเมนต์ย่อยๆ ดังแสดงในรูปที่ 2.12 ขอบเขตดังกล่าวอาจเป็นขอบเขตของปัญหานิดต่างๆ กัน เช่น ปัญหาความอืดหุ่นในของแข็ง (Elasticity problem) ปัญหาที่เกี่ยวกับอุณหภูมิและความร้อน (Thermal problem) รวมทั้งปัญหาของการไหล (Fluid problem)



รูป 2.12 การแบ่งชูปร่างลักษณะของปัญหาออกเป็นเอลิเมนต์แบบต่างๆ

ขั้นตอนที่ 2 การเลือกฟังก์ชันประมาณภายในเอลิเมนต์ (element interpolation functions) เช่น เอลิเมนต์สามเหลี่ยม (เอลิเมนต์แบบอย่างดังแสดงในรูปที่ 2.12) เอลิเมนต์ดังกล่าวประกอบด้วย 3 จุดต่อที่มีหมายเลข 1, 2 และ 3 ดังแสดงในรูป 2.13 โดยที่จุดต่อหนึ่งนั้นเป็นคำแทนงของตัวไม่รู้ค่า (nodal unknowns) ซึ่งคือ ϕ_1 , ϕ_2 และ ϕ_3 ตัวไม่รู้ค่าที่จุดต่อเหล่านี้ อาจเป็นค่าการยืดหักของตัว (displacement) หากเราทำปัญหาความยืดหยุ่นในของแข็ง หรืออาจเป็นค่าอุณหภูมิหากเราทำปัญหาเกี่ยวกับการถ่ายเทความร้อน หรือไม่ก็อาจเป็นความเร็วของของเหลว หากเราทำปัญหาเกี่ยวกับการไหล เป็นต้น ลักษณะการกระจายตัวไม่รู้ค่าบนเอลิเมนต์นี้ สามารถเขียนให้อยู่ในรูปของฟังก์ชันการประมาณภายในและตัวไม่รู้ค่าที่จุดต่อได้ ดังนี้



รูป 2.13 เอลิเมนต์สามเหลี่ยมแบบอย่างประกอบด้วยสามจุดต่อ

โดยมีตัวไม่รู้ค่าอยู่ ณ ตำแหน่งที่จุดต่อ

$$\phi(x, y) = N_1(x, y) \phi_1 + N_2(x, y) \phi_2 + N_3(x, y) \phi_3 \quad (2.15)$$

โดย $N_i(x, y)$, $i = 1, 2, 3$ คือฟังก์ชันประมาณภายในเอลิเมนต์

สมการ (2.15) สามารถเขียนให้อยู่ในรูปแบบของเมตริกซ์ได้ ดังนี้

$$\begin{aligned}\phi(x,y) &= \begin{bmatrix} N_1 & N_2 & N_3 \end{bmatrix} \begin{Bmatrix} \phi_1 \\ \phi_2 \\ \phi_3 \end{Bmatrix} \\ &= [N] \{\phi\} \quad (2.16)\end{aligned}$$

(1x3) (3x1)

โดย $[N]$ คือเมตริกซ์ของฟังก์ชันการประมาณภายในэлемент และ $\{\phi\}$ คือเวกเตอร์เมตริกซ์ที่ประกอบด้วยตัวแปรค่าที่จุดต่อของэлементนั้น ในทำรากเล่นนี้ สัญลักษณ์ $[]$ แสดงถึงเมตริกซ์แนวอน (row matrix) และ $\{ \}$ แสดงถึงเมตริกซ์แนวตั้ง (column matrix)

ขั้นตอนที่ 3 การสร้างสมการของэлемент (element equations) ดังตัวอย่างเช่น สมการของэлемент สามเหลี่ยมแบบบ่อบ่ายดังแสดงในรูป 2.13 จะอยู่ในรูปแบบดังนี้

$$\begin{bmatrix} k_{11} & k_{12} & k_{13} \\ k_{21} & k_{22} & k_{23} \\ k_{31} & k_{32} & k_{33} \end{bmatrix}_e \begin{Bmatrix} \phi_1 \\ \phi_2 \\ \phi_3 \end{Bmatrix}_e = \begin{Bmatrix} F_1 \\ F_2 \\ F_3 \end{Bmatrix}_e \quad (2.17)$$

ซึ่งเขียนย่อได้เป็น

$$[K]_e \{\phi\}_e = \{F\}_e \quad (2.18)$$

ขั้นตอนขั้นที่ 3 นี้ ถือว่าเป็นหัวใจสำคัญของวิธีการไฟไนต์элемент การสร้างสมการของэлемент ซึ่งอยู่ในรูปแบบของสมการ (2.17) สามารถทำได้โดย

- ก. วิธีการโดยตรง (direct approach) ซึ่งจะอธิบายในบทที่ 2
- ข. วิธีการแปรผัน (variational approach) ซึ่งจะอธิบายในบทที่ 3
- ก. วิธีการถ่วงน้ำหนักเศษตกค้าง (method of weighted residuals) ซึ่งจะอธิบายในบทที่ 4

ขั้นตอนที่ 4 การนำสมการของแต่ละอลิเมนต์ที่ได้มาประกอบกัน ก่อให้เกิดระบบสมการพร้อมกันขึ้น (system of simultaneous equations) ในรูปแบบดังนี้

$$\sum(\text{element equations}) \Rightarrow [\mathbf{K}]_{\text{sys}} \{\boldsymbol{\phi}\}_{\text{sys}} = \{\mathbf{F}\}_{\text{sys}} \quad (2.19)$$

ขั้นตอนที่ 5 ทำการประยุกต์เงื่อนไขของเขต (boundary conditions) ลงในสมการ (2.19) แล้วจึงแก้สมการนี้เพื่อหา $\{\boldsymbol{\phi}\}_{\text{sys}}$ อันประกอบด้วยค่าไม่รู้ค่าที่จุดย่อ (nodal unknowns) ซึ่งอาจจะเป็นค่าของการเคลื่อนตัว ณ ตำแหน่งต่างๆ ของโครงสร้าง หรือค่าของอุณหภูมิที่จุดต่างๆ หากเป็นปัญหาที่เกี่ยวกับการถ่ายเทความร้อน หรืออาจเป็นค่าของความเร็วของมวลหากเป็นปัญหาที่เกี่ยวกับการไหล เป็นต้น

ขั้นตอนที่ 6 เมื่อกำหนดค่าต่างๆ ที่จุดต่อออกมาได้แล้วก็สามารถทำการหาค่าอื่นๆ ที่ต้องการทราบต่อไปได้ เช่น เมื่อรู้ค่าการเคลื่อนตัว (displacement) ณ ตำแหน่งต่างๆ ของโครงสร้างเราสามารถนำไปใช้ในการหา ความเครียด (strain) และความเก็บ (stress) ได้ต่อไป หรือเมื่อรู้อุณหภูมิที่จุดต่างๆ ก็สามารถคำนวณหาปริมาณการถ่ายเทความร้อนได้ หรือเมื่อรู้ความเร็วของของไหลก็สามารถนำไปคำนวณหาปริมาณอัตราการไหลทั้งหมดได้เป็นต้น

จากขั้นตอนทั้ง 6 ขั้นตอนนี้ จะเห็นได้ว่าวิธีการไฟไนต์อลิเมนต์เป็นวิธีการที่มีระเบียบแบบแผนเป็นขั้นเป็นตอน โดยมีหัวใจที่สำคัญคือการสร้างสมการของอลิเมนต์ (ขั้นตอนที่ 3) ซึ่งโดยทั่วไปทำได้ 3 วิธี

การสร้างสมการไฟฟ้าในตัวอิเลมันต์จากวิธีการโดยตรง

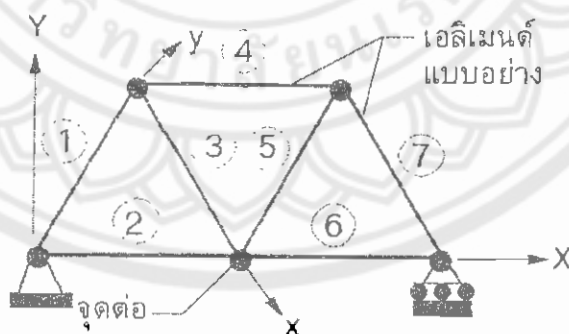
หลักการของวิธีการไฟฟ้าในตัวอิเลมันต์เริ่มจากการแบ่งรูปปร่างลักษณะของปั๊มห้าที่จะทำการคำนวณออกเป็นอิเลมันต์ย่อยๆ ซึ่งอิเลมันต์ย่อยๆ เหล่านี้อาจมีลักษณะและขนาดที่แตกต่างกันไป และจากแต่ละอิเลมันต์ย่อยนี้เองเราจำเป็นต้องสร้างสมการขึ้นมาสำหรับอิเลมันต์นั้น ซึ่งสมการของอิเลมันต์ดังกล่าวขึ้นตรงอยู่กับลักษณะของปั๊มห้าที่เราต้องการแก้ เช่น ปั๊มห้าทางด้านของแข็ง การถ่ายเทความร้อน หรือการไหล เป็นต้น เมื่อได้สมการของแต่ละอิเลมันต์แล้ว จึงนำสมการของทุกอิเลมันต์มาประกอบรวมกันก่อให้เกิดระบบสมการใหม่ๆ จากนั้นจึงทำการกำหนดค่ากฎเกณฑ์ข้อบอกรेतเเล้วจึงแก้ระบบสมการใหม่ๆ นั้นออกมาระบบเพื่อผลลัพธ์ที่ต้องการ

จากลำดับขั้นตอนคล่าวๆ ดังกล่าวข้างต้นจะเห็นได้ว่าหัวใจที่สำคัญของวิธีการไฟฟ้าในตัวอิเลมันต์คือ การสร้างสมการของอิเลมันต์ขึ้นมาเพื่อให้สามารถจำลองแบบหรือปั๊มห้าได้อย่างถูกต้องการสร้างสมการของอิเลมันต์สามารถทำได้หลายวิธีซึ่งแต่ละวิธีอาจมีข้อดีและข้อเสียแตกต่างกันไป วิธีง่ายที่สุดโดยเฉพาะในการเริ่มต้นเรียนวิธีการไฟฟ้าในตัวอิเลมันต์ก็คือ การสร้างสมการอิเลมันต์ขึ้นมาจากความเข้าใจที่ง่ายๆ โดยตรง

การสร้างสมการของอิเลมันต์ในหนึ่งมิติ

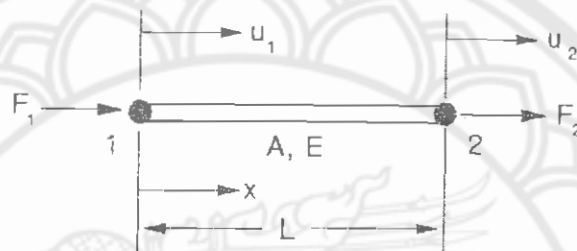
ปั๊มห้าทางโครงสร้าง

ปั๊มห้าทางโครงสร้าง (Truss Problems) ดังแสดงโดยตัวอย่างง่ายๆ ในรูปที่ 2.14 สามารถนำไปสู่ความเข้าใจในการสร้างสมการของอิเลมันต์ได้เป็นอย่างดีโครงสร้างในรูป 2.14 นี้ประกอบด้วยเหล็กท่อน (Rod) ทั้งหมด 7 ท่อนซึ่งอาจทำการจำลองแบบด้วยอิเลมันต์ทั้งหมด



รูป 2.14 ตัวอย่างปั๊มห้าทางโครงสร้างแบบง่ายๆ

จำนวน 7 เอลิเมนต์เอลิเมนต์ทั้งหมดนี้อยู่ในระบบแกนรวมใหญ่ X-Y (global coordinate system) หากเราพิจารณาลงไปในแต่ละเอลิเมนต์ เช่น เอลิเมนต์หมายเลข 3 เราจะเห็นว่าเอลิเมนต์นี้วางอยู่ในแนวแกน x ซึ่งอยู่ในระบบแกนย่อของ x-y (local coordinate) เมื่อโครงสร้างในรูป 2.14 นี้ ถูกเรียงภายนอกมากระทำ เราสามารถคำนวณหาการเคลื่อนตัว ณ จุดต่อต่างๆได้โดยใช้วิธีการไฟไนต์เอลิเมนต์ แด่ขั้นตอนแรกที่จำเป็นต้องทำก็คือ การสร้างสมการของเอลิเมนต์ขึ้นมาก่อน ดังเช่น หากเรานำเอลิเมนต์ใดเอลิเมนต์หนึ่ง เช่น เอลิเมนต์ 3 นี้ มาพิจารณาดังแสดงในรูป 2.15



รูป 2.15 ลักษณะเอลิเมนต์แบบบ่ายสำหรับโครงสร้าง

เอลิเมนต์แบบบ่ายในรูป 2.15 นี้ประกอบด้วย 2 จุดต่อหมายเลข 1 และ 2 ที่ปลายทั้งสองข้าง เอลิเมนต์นี้ทำการวัดค่าโมดูลัสของความยืดหยุ่น (modulus of elasticity) เท่ากับ E มีพื้นที่หน้าตัด (cross-sectional area) เท่ากับ A และมีความยาวเท่ากับ L มีแรง F₁ และ F₂ กระทำในแนวแกน x ที่จุดต่อ 1 และ 2 ตามลำดับ แรงดึงกล่าวเป็นแรงที่เกิดขึ้นในแนวแกนเอลิเมนต์นี้เมื่อโครงสร้างทั้งหมดอยู่ภายใต้สภาวะสมดุล และแรงดึงกล่าวทำให้จุดต่อ 1 และ 2 เคลื่อนตัวไปในแนวแกน x ซึ่งมีค่าเท่ากับ u₁ และ u₂ ตามลำดับ เริ่มต้นจากสมการความสัมพันธ์ของความเค้น (stress) และความเครียด (strain) ที่เรียกว่ากฎของhook (Hook's law) [1] นั้นคือ

$$\sigma = E\varepsilon \quad (2.20)$$

โดย σ แทนค่าของความเค้นและ ε แทนค่าของความเครียด สมมติว่าจากรูป 2.14 เราจับยึดที่จุดต่อ 1 และดึงที่จุดต่อ 2 ด้วยแรง F₂ สมการ 2.20 จะเขียนได้ในรูปแบบดังนี้

$$\begin{aligned} \frac{F_2}{A} &= E\left(\frac{u_2 - u_1}{L}\right) \\ F_2 &= \frac{AE}{L}(u_2 - u_1) \\ -\frac{AE}{L}(u_1 - u_2) &= F_2 \end{aligned} \quad (2.21)$$

แต่ภายใต้ความสมดุล

$$\begin{aligned}\sum F_x &= 0 \\ F_1 + F_2 &= 0 \\ F_1 &= -F_2 \\ 0 = F_1 &= \frac{AE}{L}(u_2 - u_1)\end{aligned}\quad (2.22)$$

นั่นคือ สมการ (2.21) และ (2.22) สามารถนำมาเขียนด้วยกันได้ ดังนี้

$$\begin{aligned}\frac{AE}{L}(u_2 - u_1) &= F_1 \\ -\frac{AE}{L}(u_1 - u_2) &= F_2\end{aligned}$$

ซึ่งเขียนให้อยู่ในรูปของเมตริกซ์ได้

$$\begin{bmatrix} \frac{AE}{L} & -\frac{AE}{L} \\ -\frac{AE}{L} & \frac{AE}{L} \end{bmatrix} \begin{Bmatrix} u_1 \\ u_2 \end{Bmatrix} = \begin{Bmatrix} F_1 \\ F_2 \end{Bmatrix}$$

$$\frac{AE}{L} \begin{bmatrix} 1 & -1 \\ -1 & 1 \end{bmatrix} \begin{Bmatrix} u_1 \\ u_2 \end{Bmatrix} = \begin{Bmatrix} F_1 \\ F_2 \end{Bmatrix} \quad (2.23)$$

หรือเขียนย่อได้เป็น

$$[K] \{u\} = \{F\} \quad (2.24)$$

ในที่นี่

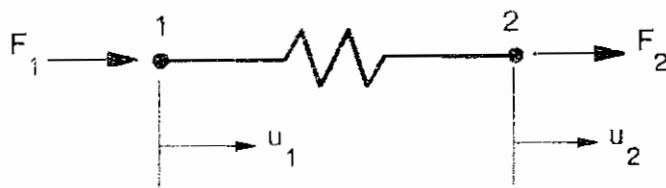
$[K]$ เรียกว่า เอลิเมนต์เมตริกซ์ของความเหยิงเกร็ง (element stiffness matrix)

$\{u\}$ เรียกว่า เมตริกซ์ของการเคลื่อนตัวที่จุดค่อ (vector or nodal displacements)

$\{F\}$ เรียกว่า เมตริกซ์ของแรงกระทำที่จุดค่อ (vector or nodal force)

รูปแบบของสมการของเอลิเมนต์ดังแสดงโดยสมการ (2.23) สามารถนำไปใช้กับสปริง ดังแสดงในรูป 2.16 ได้โดยตรง

ความเหยิงเกร็งของสปริง = k



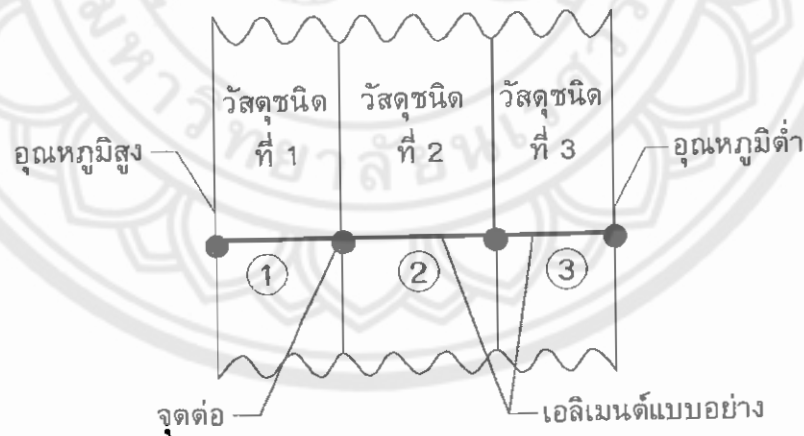
รูป 2.16 สปริงเอลิเมนต์

โดย k คือ ค่าความแข็งเกร็งของสปริง (spring stiffness) โดยมีหน่วยเป็นแรงต่อระยะทางที่เปลี่ยนแปลงไป เช่น นิวตันต่อเซนติเมตร เป็นด้าน สมการของสปริงอเลิเมนต์ ดังแสดงในรูป 2.16 คือ

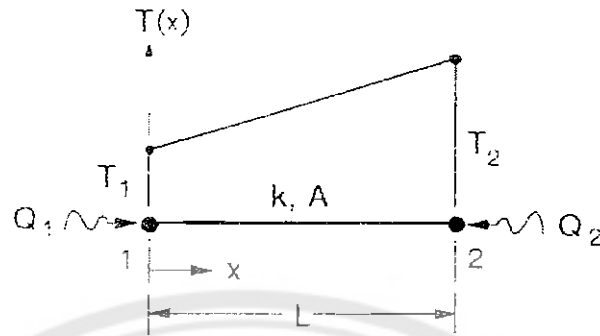
$$k \begin{bmatrix} 1 & -1 \\ -1 & 1 \end{bmatrix} \begin{Bmatrix} u_1 \\ u_2 \end{Bmatrix} = \begin{Bmatrix} F_1 \\ F_2 \end{Bmatrix} \quad (2.25)$$

ปัญหาการความร้อน

การถ่ายเทความร้อนภายในตัวสถานะอยู่ด้วย (steady-state heat transfer) ในรูปทรงหนึ่งมิติซึ่งเกิดขึ้นมาจากการดับอุณหภูมิที่ค่างกันเป็นปัญหาอิกปัญหาหนึ่งที่จะช่วยทำให้เกิดความเข้าใจในการสร้างสมการของอเลิเมนต์ได้ดียิ่งขึ้น รูป 2.17 แสดงลักษณะของปัญหาซึ่งประกอบด้วยวัสดุ 3 ชนิด โดยความร้อนจะถ่ายเทในทิศทางแกน X จากผิวขอบนอกด้านซ้ายที่มีอุณหภูมิสูงไปสู่ผิวขอบนอกด้านขวาที่มีอุณหภูมิต่ำ ในการใช้วิธีการไฟนิตอเลิเมนต์ เราสามารถจำลองปัญหานี้ 3 เอลิเมนต์ดังแสดงในรูป 2.17 จากนั้นเราจะต้องสร้างสมการของแต่ละอเลิเมนต์ขึ้นมา ซึ่งทำได้โดยนำเอลิเมนต์แบบบ่องเอลิเมนต์ได้อเลิเมนต์หนึ่งมาพิจารณา เช่น ดังแสดงในรูป 2.18 ซึ่งประกอบด้วยจุดต่อ 1 และ 2 ที่ปลายของห้องสองข้าง เอลิเมนต์นี้มีค่าสภาพนำความร้อน (thermal conductivity) เท่ากับ k มีพื้นที่หน้าตัด (cross sectional area) เพื่อการนำความร้อนเท่ากับ A ความยาวของอเลิเมนต์ในแนวแกน x เท่ากับ L และมีอุณหภูมิที่จุดต่อ 1 และ 2 เท่ากับ T_1 และ T_2 ซึ่งก่อให้เกิดการถ่ายเทความร้อนเท่ากับ Q_1 และ Q_2 ตามลำดับ



รูป 2.17 ตัวอย่างการถ่ายเทความร้อนผ่านวัสดุหลายชนิด



รูป 2.18 ลักษณะอเลิเมนต์แบบบ่ายสำหรับการถ่ายเทความร้อน

จากกฎของฟูริเยร์ (Fourier's law) [2] ที่ว่าปริมาณการนำความร้อนนั้นเป็นสัดส่วนกับค่าสภาพนำความร้อน พื้นที่หน้าตัด และความแตกต่างระหว่างอุณหภูมิ กล่าวคือ

$$Q = -kA \frac{\partial T}{\partial x} \quad (2.26)$$

คั่งนั้น

$$Q_1 = -kA \frac{T_2 - T_1}{L}$$

$$Q_1 = \frac{kA}{L} (T_1 - T_2) \quad (2.27)$$

แต่จากกฎของการสมดุลของการถ่ายเทความร้อนและจากรูป 2.18 จะพบว่า

$$\begin{aligned} Q_1 + Q_2 &= 0 \\ Q_2 &= -Q_1 \\ Q_2 &= \frac{kA}{L} (-T_1 + T_2) \end{aligned} \quad (2.28)$$

สมการ (2.27) และ (2.28) นำมาเขียนด้วยกันได้ดังนี้

$$\begin{aligned} \frac{kA}{L} (T_1 - T_2) &= Q_1 \\ \frac{kA}{L} (-T_1 + T_2) &= Q_2 \end{aligned}$$

ซึ่งเขียนให้อยู่ในรูปเมตริกซ์ได้ดัง

$$\frac{kA}{L} \begin{bmatrix} 1 & -1 \\ -1 & 1 \end{bmatrix} \begin{Bmatrix} T_1 \\ T_2 \end{Bmatrix} = \begin{Bmatrix} Q_1 \\ Q_2 \end{Bmatrix} \quad (2.29)$$

หรือเขียนย่อได้เป็น

$$[K]\{T\} = \{Q\} \quad (2.30)$$

โดยในที่นี่

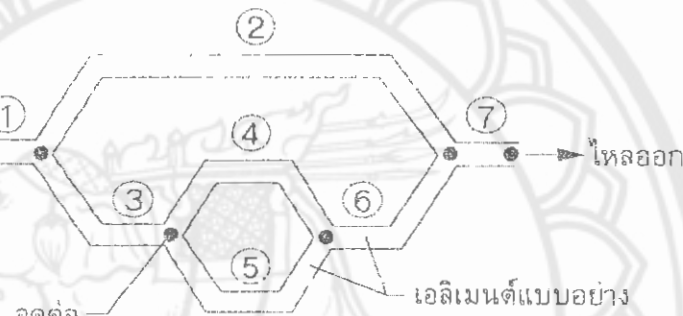
$[K]$ เรียกว่า เอลิเมนต์แมตริกซ์ของการนำความร้อน (element conduction matrix)

$\{T\}$ เรียกว่า เมตริกซ์ของอุณหภูมิที่จุดต่อ (vector or nodal temperatures)

$\{Q\}$ เรียกว่า เมตริกซ์ของปริมาณความร้อนที่จุดต่อ (vector or nodal head loads)

ปัญหาทางของไอล

อัตราการไอลของของเหลวในระบบท่อภายในร่างกายให้สถานะอยู่ตัว สามารถคำนวณด้วยวิธีการไฟในต์เอลิเมนต์ได้เช่นกัน รูป 2.19 แสดงระบบท่อแบบง่ายๆ ซึ่งประกอบด้วย 7 เอลิเมนต์



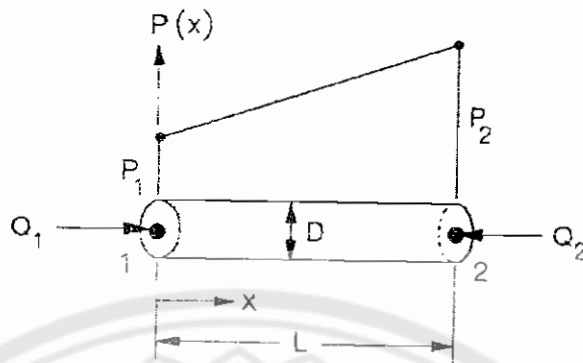
รูป 2.19 ตัวอย่างการไอลในระบบท่อ

อัตราการไอลของของเหลวในห้องลมสภาวะอยู่ตัว ภายใต้สมมติฐานของการไอลแบบ laminar (laminar flow) โดยของเหลวมีความหนาแน่นคงที่ (incompressible) อาจเขียนให้อยู่ในรูปของความแตกต่างของความดันได้ดังนี้ [3]

$$Q = - \frac{\pi D^4}{128\mu} \frac{\partial P}{\partial x} \quad (2.31)$$

โดย Q แทนอัตราการไอล D แทนเส้นผ่านศูนย์กลางของท่อ μ คือค่าความหนืด (viscosity) ของของเหลว และ P คือ ค่าความดัน (pressure)

ในการสร้างสมการเอลิเมนต์ เราพิจารณาเอลิเมนต์แบบอย่างเอลิเมนต์ได้เอลิเมนต์หนึ่งดังแสดงในรูป 2.20 ซึ่งเป็นท่อที่มีเส้นผ่านศูนย์กลางเท่ากับ D ยาวเท่ากับ L ในทิศทางแกน x โดยที่ปลายท่อทึ่งสองมีจุดต่อ 1 และ 2 ซึ่งมีความดัน P_1 และ P_2 ทำให้เกิดอัตราการไอล Q_1 และ Q_2 ตามลำดับ



รูป 2.20 ลักษณะอเลิมเนตแบบอ่างของการไหลในท่อคู่

จากลักษณะของอเลิมเนตในรูป 2.20 และสมการ (2.31) อัตราการไหลที่จุดคู่ 1 คือ

$$\begin{aligned} Q_1 &= -\frac{\pi D^4}{128 \mu L} \frac{P_2 - P_1}{L} \\ Q_1 &= -\frac{\pi D^4}{128 \mu L} (P_1 - P_2) \end{aligned} \quad (2.32)$$

แต่จากกฎของความสมดุลของการไหล

$$\begin{aligned} Q_1 + Q_2 &= 0 \\ Q_2 &= -Q_1 \\ Q_2 &= \frac{\pi D^4}{128 \mu L} (-P_1 + P_2) \end{aligned} \quad (2.33)$$

สมการ (2.32) และ (2.33) สามารถนำมาเขียนด้วยกันเป็น

$$\begin{aligned} \frac{\pi D^4}{128 \mu L} (P_1 - P_2) &= Q_1 \\ \frac{\pi D^4}{128 \mu L} (-P_1 + P_2) &= Q_2 \end{aligned}$$

ซึ่งเขียนให้อยู่ในรูปของเมตริกซ์ได้ดังนี้

$$\frac{\pi D^4}{128 \mu L} \begin{bmatrix} 1 & -1 \\ -1 & 1 \end{bmatrix} \begin{Bmatrix} P_1 \\ P_2 \end{Bmatrix} = \begin{Bmatrix} Q_1 \\ Q_2 \end{Bmatrix} \quad (2.34)$$

หรือเขียนย่อได้เป็น

$$[K] \{P\} = \{Q\} \quad (2.35)$$

ในที่นี่

$[K]$ เรียกว่า เอลิเมนต์เมตริกซ์ของการไหล (element fluidity matrix)

$\{P\}$ เรียกว่า เมตริกซ์ของค่าความดันที่จุดต่อ (vector or nodal pressures)

$\{Q\}$ เรียกว่า เมตริกซ์ของอัตราการไหลที่จุดต่อ (vector or nodal flow rates)

จากตัวอย่างทั้งสาม ซึ่งประกอบด้วยปัญหาทางโครงสร้าง ปัญหาทางความร้อน และปัญหาทางการไหล จะเห็นได้ว่าสมการของเอลิเมนต์ที่สอดคล้องกับปัญหาต่างๆเหล่านี้ สามารถสร้างขึ้นมาจากการพื้นฐานทางวิศวกรรมได้โดยตรง สมการของเอลิเมนต์ของปัญหาต่างๆดังกล่าวต่างอยู่ในรูปแบบเดียวกัน ดังแสดงในสมการ (2.24), (2.30) และ (2.35) นั้นคือ

$$[K] \{u\} = \{F\} \quad (2.36)$$

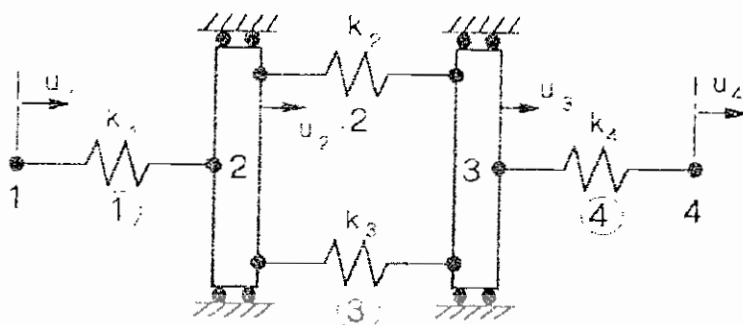
โดย $[K]$ เรียกว่า เอลิเมนต์เมตริกซ์ที่ขึ้นอยู่กับชนิดของปัญหานั้นๆ (element matrix)

$\{u\}$ เรียกว่า เมตริกซ์ของค่าที่ไม่รู้ที่จุดต่อ (vector or nodal unknowns)

$\{F\}$ เรียกว่า เมตริกซ์ของโหลดที่จุดต่อ (vector or nodal loads)

การสร้างระบบสมการใหญ่จากสมการย่อยของเอลิเมนต์

หลังจากที่เราสามารถสร้างสมการของแต่ละเอลิเมนต์ขึ้นมาแล้วดังเช่นสมการแบบอย่างของสปริงดังแสดงในสมการ (2.25) เราจำเป็นต้องนำสมการของแต่ละเอลิเมนต์นี้มาประกอบรวมกันเข้ากันให้เกิดระบบสมการใหญ่ ซึ่งก็เปรียบเสมือนกับว่าเรานำอาสนะสปริงเอลิเมนต์มาประกอบคอกันเข้ากันเป็นรูปร่างรวมสุดท้ายทั้งหมดที่ต้องการ การนำสมการย่อยของแต่ละเอลิเมนต์ประกอบรวมกันเข้ากันเป็นต้องมีหลักการ ซึ่งเราสามารถทำความเข้าใจได้อย่างง่ายดังแสดงในตัวอย่างต่อไปนี้ กด่าว่าคือเราจะทำการสร้างระบบสมการใหญ่จากระบบของสปริงดังแสดงในรูป 2.21



รูป 2.21 ตัวอย่างของระบบสปริงในหนังมิติ

รูป 2.21 แสดงถึงระบบของสปริงที่มีการเคลื่อนย้ายได้ในเพียงหนึ่งมิติ โดยประกอบด้วยสปริงอเลลิ เมนต์ทั้งหมด 4 เอลิเมนต์ ซึ่งมีค่าความแข็งของสปริงเท่ากัน k_1, k_2, k_3 และ k_4 ตามลำดับ มีการเคลื่อนตัวที่จุดต่อทั้ง 4 จุด คือ u_1, u_2, u_3 และ u_4 ดังแสดงในรูป ซึ่งหมายถึงว่าระบบสมการใหม่ที่อยู่ในรูปลักษณะของสมการดังต่อไปนี้

$$\begin{bmatrix} \bar{k}_{11} & \bar{k}_{12} & \bar{k}_{13} & \bar{k}_{14} \\ \bar{k}_{21} & \bar{k}_{22} & \bar{k}_{23} & \bar{k}_{24} \\ \bar{k}_{31} & \bar{k}_{32} & \bar{k}_{33} & \bar{k}_{34} \\ \bar{k}_{41} & \bar{k}_{42} & \bar{k}_{43} & \bar{k}_{44} \end{bmatrix} \begin{Bmatrix} u_1 \\ u_2 \\ u_3 \\ u_4 \end{Bmatrix} = \begin{Bmatrix} \bar{f}_1 \\ \bar{f}_2 \\ \bar{f}_3 \\ \bar{f}_4 \end{Bmatrix} \quad (2.37)$$

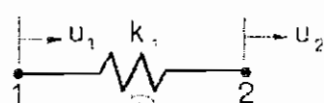
หรือเขียนย่อๆ ได้ว่า

$$\left[K \right]_{FVS} \{ u \}_{sys} = \{ F \}_{sys} \quad (2.38)$$

โดยด้วยนีล่า่ง (subscript) sys แทนคำว่า system ซึ่งหมายถึงระบบสมการใหม่ๆ

การประกอบเมืองคริสต์อโศกมนตร์เป็นเมืองคริสต์ระบบรวม

สมการ (2.38) แสดงให้เห็นว่าจำเป็นต้องรู้ค่าของเมตริกซ์ระบบรวม $[K]_{sys}$ เสียก่อนจึงจะสามารถคำนวณหาการเคลื่อนที่ด้วยต่อๆ ไป เมตริกซ์ระบบนี้



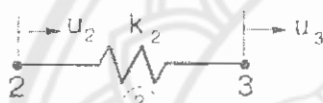
รูป 2.22 ลักษณะสปริงอลิเมนต์
ที่ 1 ของรำ 2.21

ประกอบขึ้นมาจากการเมต里的ซ์ของแต่ละเอลิเมนต์บอย เช่น หากเราพิจารณาเอลิเมนต์หมายเลข 1 ในรูป 2.21 โดยแยกแสดงออกมายังในรูป 2.22 นี้ และใช้สมการแบบอย่างตามสมการ (2.25) เรายจะพบว่าสมการของเอลิเมนต์ที่ 1 นี้ คือ

$$\begin{bmatrix} k_1 & -k_1 \\ -k_1 & k_1 \end{bmatrix} \begin{Bmatrix} u_1 \\ u_2 \end{Bmatrix} = \begin{Bmatrix} F_1 \\ F_2 \end{Bmatrix} \quad (2.39)$$

ซึ่งมีเพียง 2 สมการ และสามารถเขียนให้อยู่ในรูปของระบบสมการให้ญี่ที่มีทั้งหมด 4 สมการ โดยมีลักษณะ เช่นเดียวกับสมการ (2.37) ได้ดังนี้

$$\begin{bmatrix} k_1 & -k_1 & 0 & 0 \\ -k_1 & k_1 & 0 & 0 \\ 0 & 0 & 0 & 0 \\ 0 & 0 & 0 & 0 \end{bmatrix} \begin{Bmatrix} u_1 \\ u_2 \\ u_3 \\ u_4 \end{Bmatrix} = \begin{Bmatrix} F_1 \\ F_2 \\ 0 \\ 0 \end{Bmatrix} \quad (2.40)$$



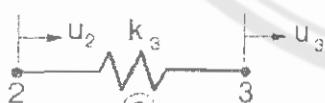
รูป 2.23 ลักษณะสปริงอเลิเมนต์ที่ 2
ของรูป 2.21

เช่นเดียวกัน หากเราพิจารณาสปริงอเลิเมนต์ที่ 2

ในรูป 2.21 ซึ่งแสดงในรูป 2.23 สมการของสปริงอเลิเมนต์ที่ 2
นี้คือ

$$\begin{bmatrix} k_2 & -k_2 \\ -k_2 & k_2 \end{bmatrix} \begin{Bmatrix} u_2 \\ u_3 \end{Bmatrix} = \begin{Bmatrix} F_2 \\ F_3 \end{Bmatrix} \quad (2.41)$$

$$\begin{bmatrix} 0 & 0 & 0 & 0 \\ 0 & k_2 & -k_2 & 0 \\ 0 & -k_2 & -k_2 & 0 \\ 0 & 0 & 0 & 0 \end{bmatrix} \begin{Bmatrix} u_1 \\ u_2 \\ u_3 \\ u_4 \end{Bmatrix} = \begin{Bmatrix} 0 \\ F_2 \\ F_3 \\ 0 \end{Bmatrix} \quad (2.42)$$



รูป 2.24 ลักษณะสปริงอเลิเมนต์ที่ 3
ของรูป 2.21

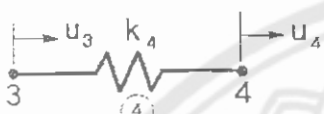
ในทำนองเดียวกัน เมื่อเราพิจารณาสปริงอเลิเมนต์ที่ 3 ใน

รูป 2.21 ซึ่งแสดงในรูป 2.24 ได้ดังนี้สมการของสปริงอเลิเมนต์ที่ 3 นี้คือ

$$\begin{bmatrix} k_3 & -k_3 \\ -k_3 & k_3 \end{bmatrix} \begin{Bmatrix} u_2 \\ u_3 \end{Bmatrix} = \begin{Bmatrix} F_2 \\ F_3 \end{Bmatrix} \quad (2.43)$$

และเขียนให้อยู่ในรูปของระบบสมการใหม่ที่มีทั้งหมด 4 สมการได้เช่นกัน คือ

$$\begin{bmatrix} 0 & 0 & 0 & 0 \\ 0 & k_3 & -k_3 & 0 \\ 0 & -k_3 & -k_3 & 0 \\ 0 & 0 & 0 & 0 \end{bmatrix} \begin{Bmatrix} u_1 \\ u_2 \\ u_3 \\ u_4 \end{Bmatrix} = \begin{Bmatrix} 0 \\ F_2 \\ F_3 \\ 0 \end{Bmatrix} \quad (2.44)$$



รูป 2.25 ลักษณะสปริงอเลิเมนต์ที่ 4 ของรูป 2.21

และเข่นเดียวกันหากเราพิจารณาสปริงอเลิเมนต์ที่ 4 ซึ่งเป็นอเลิเมนต์สุดท้ายในรูป 2.21 เราสามารถแสดงลักษณะของสปริงอเลิเมนต์นี้ได้ดังแสดงในรูป 2.25 สมการของสปริงอเลิเมนต์ที่ 4 นี้คือ

$$\begin{bmatrix} k_4 & -k_4 \\ -k_4 & k_4 \end{bmatrix} \begin{Bmatrix} u_3 \\ u_4 \end{Bmatrix} = \begin{Bmatrix} F_3 \\ F_4 \end{Bmatrix} \quad (2.45)$$

ซึ่งเขียนให้อยู่ในรูปของระบบสมการใหม่ที่มีทั้งหมด 4 สมการได้คือ

$$\begin{bmatrix} 0 & 0 & 0 & 0 \\ 0 & 0 & 0 & 0 \\ 0 & 0 & k_4 & -k_4 \\ 0 & 0 & -k_4 & k_4 \end{bmatrix} \begin{Bmatrix} 0 \\ 0 \\ u_3 \\ u_4 \end{Bmatrix} = \begin{Bmatrix} 0 \\ 0 \\ F_3 \\ F_4 \end{Bmatrix} \quad (2.46)$$

การนำสมการที่ได้จากเด่าละอเลิเมนต์ ซึ่งคือ สมการ (2.40) จากอเลิเมนต์ 1, สมการ (2.42) จากอเลิเมนต์ 2, สมการ (2.44) จากอเลิเมนต์ 3 และสมการ (2.46) จากอเลิเมนต์ 4 มาประกอบรวมกันเข้า กี เปรียบเสมือนเรานำสปริงอเลิเมนต์ย่อทั้งสี่ จากรูป 2.22, 2.23, 2.24 และ 2.25 มาประกอบรวมกัน ก่อให้เกิดระบบสปริง ดังแสดงในรูป 2.21 นั่นคือ

$$\begin{aligned} [K]_{sys} &= \sum [K]_e \\ &\quad (1) \quad (2) \quad (3) \quad (4) \\ &= \begin{bmatrix} k_1 & -k_1 & & \\ -k_1 & k_1 + k_2 + k_3 & -k_2 - k_3 & \\ & -k_2 - k_3 & k_1 + k_2 + k_3 & -k_4 \\ & & -k_4 & k_4 \end{bmatrix} \quad (1) \quad (2) \quad (3) \quad (4) \end{aligned} \quad (2.47)$$

โดยตัวเลข 1, 2, 3, 4 ที่อยู่ในวงลีบตามข้อด้านบนและด้านขวาของเมตริกซ์ระบบรวมของสปริงนั้น สอดคล้องกับสมการลำดับที่ 1, 2, 3 และ 4 ตามลำดับ

การประกอบกันของสมการอเลิเมนต์ย่อที่นี่มาเป็นเมตริกซ์ระบบรวมดังแสดงในสมการ (2.47) สามารถทำได้ง่ายๆ โดยไม่จำเป็นต้องเขียนเป็นสมการ 2.40, 2.42, 2.44 และ 2.46 ออกมานาโดยละเอียด

วิธีการง่ายๆคือ การทำการเขียนสมการของอลิเมนต์ต่างๆกับเรา โดยกำหนดให้กับหมายเลขของแควนอนและแควต์ให้ถูกต้อง เช่น สปริงอลิเมนต์ที่ 1 ประกอบด้วยจุดต่อหมายเลข 1 และ 2 เราจะกำหนดตัวเลขไปบนเมตริกซ์ความแข็งเกร็งของอลิเมนต์นั้นเป็น

$$[K]_{element1} = \begin{bmatrix} (1) & (2) \\ k_1 & -k_1 \\ -k_1 & k_1 \end{bmatrix} \quad (2.48)$$

ทำนองเดียวกัน สำหรับสปริงอลิเมนต์ที่ 2 ซึ่งประกอบด้วยจุดต่อ 2 และ 3

$$[K]_{element2} = \begin{bmatrix} (2) & (3) \\ k_2 & -k_2 \\ -k_2 & k_2 \end{bmatrix} \quad (2.49)$$

สำหรับสปริงอลิเมนต์ที่ 3 ซึ่งประกอบด้วยจุดต่อ 2 และ 3 เช่นเดียวกับอลิเมนต์ที่ 2

$$[K]_{element3} = \begin{bmatrix} (2) & (3) \\ k_3 & -k_3 \\ -k_3 & k_3 \end{bmatrix} \quad (2.50)$$

และสำหรับสปริงอลิเมนต์ที่ 4 สุดท้าย ซึ่งประกอบด้วยจุดต่อ 3 และ 4

$$[K]_{element4} = \begin{bmatrix} (3) & (4) \\ k_4 & -k_4 \\ -k_4 & k_4 \end{bmatrix} \quad (2.51)$$

เมื่อเรามีหมายเลขกำหนดกับทั้งทางแควนอนและแควต์ กับสัมประสิทธิ์ทุกตัวของเมตริกซ์ของทุกอลิเมนต์แล้ว เราจะสามารถนำสัมประสิทธิ์ต่างเหล่านี้มาใส่ลงในเมตริกซ์ระบบรวมของสปริงทั้งหมดได้ ดังนี้

$$[K]_{sys} \quad (4 \times 4) = \begin{bmatrix} (1) & (2) & (3) & (4) \\ k_1 & -k_1 & & \\ -k_1 & k_1 + k_2 + k_3 & -k_2 - k_3 & \\ & -k_2 - k_3 & k_1 + k_2 + k_3 & -k_4 \\ & & -k_4 & k_4 \end{bmatrix} \quad (2.52)$$

เช่น ค่าสัมประสิทธิ์ $-k_1$ ซึ่งอยู่ในเดวนอนที่ 1 และตั้งที่ 2 ของเมตริกซ์อelist เมนที่อยู่หมายเลข 1 จะไปอยู่เดวนอนที่ 1 และตั้งที่ 2 ของเมตริกซ์ระบบรวมดังแสดงในสมการ (2.52) เป็นต้น อนึ่ง หลักวิธีการประกอบเมตริกซ์ย่อยขึ้นมาเป็นเมตริกซ์ระบบรวมดังอธิบายโดยสมการ (2.47 – 2.51) เช่นเดียวกันนี้ ก็ถูกนำไปใช้ในการประดิษฐ์คอมพิวเตอร์โปรแกรมชั้นกัน เพราะเป็นหลักการที่ง่ายๆและสามารถทำได้โดยสะดวก วิธีการดังกล่าวคูเป็นสิ่งง่ายๆโดยเฉพาะตัวอย่างนี้ แต่ในทางปฏิบัติทั้งจำนวนอelist เมนท์และจำนวนจุดต่อจะมีมากโดยตัวเลขจะเป็นอะไรก็ได้ ดังตัวอย่างเช่น อelist เมนท์หมายเลขน 76 จะประกอบด้วยจุดต่อหมายเลขน 1024 และ 582 หลักการดังอธิบายมาดังกล่าวทักษะใช้ได้เช่นเดิม [4]

คุณลักษณะของเมตริกซ์ระบบรวม

หากเราสังเกตถักขยะของเมตริกซ์ระบบรวมในสมการ (2.52) เราจะเห็นได้ว่าเมตริกซ์ระบบรวมนี้ ประกอบด้วยค่าที่ไม่เท่ากับศูนย์ในบริเวณแนวแท่งนูนของเมตริกซ์ ซึ่งสามารถแสดงได้ดังในรูป 2.26 ถ้าครั้งส่วนหัวบัญหาของเรื่องสปริงนี้เราขยับว่าเมตริกซ์ระบบรวมนี้ขึ้นเป็นเมตริกซ์สมมาตร ซึ่งหมายถึงว่าในการประดิษฐ์คอมพิวเตอร์โปรแกรมแรกเพียงเก็บค่าต่างๆตั้งแต่แนวแท่งนูนของเมตริกซ์ขึ้นไปจะเพียงพอต่อการคำนวณ เช่น หากเราต้องการแก้ปัญหาที่มี 1,000 จุดต่อ เมตริกซ์ระบบรวมจะประกอบด้วยสัมประสิทธิ์ทั้งหมด $1,000 \times 1,000 = 1$ ล้านค่า ซึ่งก็หมายถึงว่าเราสามารถเก็บค่าเพียงแค่ 5 แสนค่าก็เพียงพอต่อการคำนวณ

$$[K]_{sys} = \begin{bmatrix} X & X & 0 & 0 \\ X & X & X & 0 \\ 0 & X & X & X \\ 0 & 0 & X & X \end{bmatrix}$$

X = ค่าที่ไม่เท่ากับศูนย์
 BW = ความกว้างແຕນ
 (Bandwidth)
 HBW = ครึ่งของความกว้างແຕນ
 (half-bandwidth)

รูป 2.26 ลักษณะของเมตริกซ์ระบบรวม
และครึ่งของความกว้างແຕນ

ลักษณะของเมตริกซ์ระบบรวมในรูป 2.26 บังแสดงให้เห็นว่าค่าที่ไม่เท่ากับศูนย์อยู่ภายนอกของเขต ซึ่งมีความกว้างเท่ากับความกว้างແฉน BW (Bandwidth) และนอกกรอบออกไปมีค่าที่เท่ากับศูนย์ ซึ่งไม่มีความจำเป็นต้องเก็บไว้ในหน่วยความจำของเครื่องคอมพิวเตอร์ นั่นหมายความว่า เราสามารถเก็บค่าสัมประสิทธิ์แค่ครึ่งหนึ่งในกรอบของเขตดังแสดงในรูป 2.26 กล่าวคือ ครึ่งหนึ่งของความกว้างແฉน (half-bandwidth) ถูกกับจำนวนสมการที่เพียงพอต่อการคำนวณ ซึ่งหมายความว่า หากความครึ่งของความกว้างແฉนเท่ากับ 2 และเรามีจำนวนจุดต่อทั้งหมด 1,000 จุดต่อ เราจะสามารถเก็บค่าเพียง $2 \times 1,000 = 2,000$ ค่า ไว้ในหน่วยความจำของเครื่องคอมพิวเตอร์ที่เพียงพอต่อการคำนวณ

จากรูป 2.26 และคำอธิบายข้างต้น จะเห็นได้ว่าค่าครึ่งของความกว้างของແฉน (HBW) นั้นมีบทบาทต่อการคำนวณมาก ค่าครึ่งของความกว้างของແฉนนี้ขึ้นอยู่กับการกำหนดหมายเลขของจุดต่อ ซึ่งอาจคำนวณได้จากสมการ

$$HBW = (1+NDIF) * NDOF \quad (2.53)$$

โดย HBW คือค่าครึ่งของความกว้างແฉน (half - bandwidth), NDIF คือ ค่าแตกต่างระหว่างหมายเลขของจุดต่อ ซึ่งเป็นค่าที่สูงสุดจากทุกๆ เอลิเมนต์, และ NDOF คือ จำนวนระดับขั้นความเสรี (degree of freedom) ของแต่ละจุดค่อนนั้น ซึ่งสำหรับปัญหาใน 1 มิติ ค่า NDOF เท่ากับ 1 เป็นต้น จากสมการ (2.52) เราสามารถคำนวณหาครึ่งของความกว้างของແฉน ได้ คือ

$$HBW = (1 + 1) * 1 = 2$$

ซึ่งสอดคล้องกับสมการ (2.52) และแสดงในรูป (2.26)

หากเราทำการสลับหมายเลขของจุดต่อระหว่างหมายเลข 2 และหมายเลข 4 ในรูปที่ 2.21 เราจะพบว่า $NDIF = 4 - 1 = 3$ เกิดขึ้นที่เอลิเมนต์หมายเลข 1 ดังนั้น

$$HBW = (1 + 3) * 1 = 4$$

และลักษณะของเมตริกซ์ระบบรวมดังแสดงในรูป 2.26 จะกลายเป็น

$$[K]_{sys} = \begin{bmatrix} x & 0 & 0 & x \\ 0 & x & x & 0 \\ 0 & x & x & 0 \\ x & 0 & 0 & x \end{bmatrix}$$

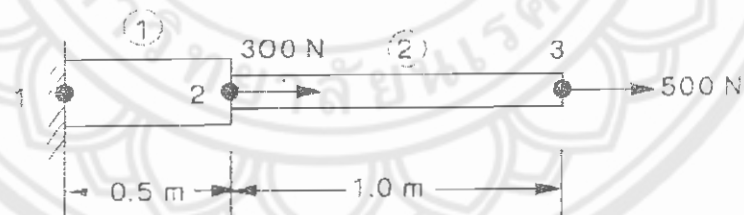
ซึ่งหมายถึงว่ากรอบของเขตของແฉนนั้นขยายเพิ่มมากขึ้น ดังนั้นจึงจำเป็นต้องเก็บค่าสัมประสิทธิ์ในหน่วยความจำบนเครื่องคอมพิวเตอร์มากขึ้น

ตัวอย่างนี้แสดงให้เห็นว่าการให้หมายเลขอุคต่อแก่รูปแบบของไฟในต่ออุลิเมนต์นั้น ถึงแม้จะไม่มีผลต่อผลลัพธ์ แต่มีความสำคัญในการคำนวณ เช่น อาจทำให้ใช้หน่วยความจำและเวลาในการคำนวณมากขึ้น ข้อที่ควรรำลึกไว้ตลอดเวลาคือ ความแตกต่างระหว่างหมายเลขอุคต่อของอุลิเมนต์ต่างๆ (NDIF) ควรให้มีค่าที่ต่ำที่สุด อย่างไรก็ตามในทางปฏิบัติเมื่อรูปร่างลักษณะของชิ้นงานนั้นซับซ้อนและมีจำนวนอุลิเมนต์และจุดต่อเป็นจำนวนมาก จะเป็นการยากมากที่เดียวที่จะทำให้ค่า NDIF ดังกล่าวมีค่าที่ต่ำที่สุด ในปัจจุบันมีโปรแกรมคอมพิวเตอร์ขนาดเล็กๆ หลายโปรแกรมที่ช่วยเปลี่ยนหมายเลขอุคต่อซึ่งจะก่อให้เกิดค่าความกว้างของแบนที่ต่ำที่สุด (Bandwidth optimization programs) ซึ่งจะช่วยทำให้ความต้องการของหน่วยความจำของเครื่องคอมพิวเตอร์ที่ใช้ในการแก้ปัญหานั้นน้อยลง ซึ่งก็จะเป็นผลให้เวลาที่ใช้ไปในการคำนวณนั้นลดลงตามไปด้วย

ตัวอย่างการแก้ปัญหานิ่งมิติ

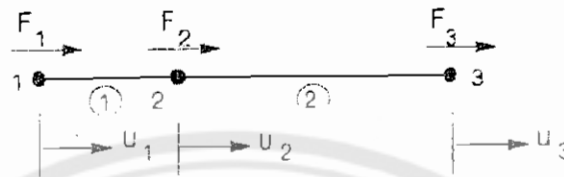
หลังจากที่เราได้เรียนรู้ถักยนตร์ของสมการของอุลิเมนต์ เช่น อุลิเมนต์เหล็กท่อนของปั๊มหางโครงสร้างหนึ่งมิติ และการประกอบสมการจากอุลิเมนต์ย่อยต่างๆ ขึ้นเป็นสมการระบบรวม เราสามารถนำความรู้ดังกล่าวมาแก้ปัญหานางอย่างที่มีรูปทรงหนึ่งมิติได้ ดังแสดงในตัวอย่างดังต่อไปนี้

ตัวอย่างที่ 2.2 แท่งโลหะสองชนิดมีค่าโมดูลัสของความยืดหยุ่น 5×10^7 และ $10 \times 10^7 \text{ kN/m}^2$ ยาว 0.5 และ 1 m มีพื้นที่หน้าตัด 20 และ 10 cm^2 ตามลำดับ ต่ออันที่จุดต่อ 2 โดยที่จุดต่อ 1 ยึดติดกับผาผนัง และมีแรงกระทำที่จุดต่อ 2 และ 3 เท่ากับ 300 และ 500 N ดังแสดงในรูป 2.27 ให้คำนวณหาค่าเคลื่อนตัวที่จุดต่อ 2 และ 3 รวมทั้งค่าความเดินและแรงที่เกิดขึ้นภายในแท่งโลหะนี้



รูป 2.27 แท่งโลหะ 2 ชนิด จำลองด้วย 2 อุลิเมนต์และ 3 จุดต่อ

วิธีการคำนวณ จากรูป 2.27 ที่กำหนดมาให้เราสามารถนำมาเขียนเป็นแบบจำลองไฟไนต์อเลิเมนต์ (finite element model) ซึ่งประกอบด้วย 2 เอลิเมนต์และ 3 จุดคือได้ดังแสดงในรูป 2.28



รูป 2.28 แบบจำลองไฟไนต์อเลิเมนต์สำหรับแท่งโลหะ 2 ชนิด

โดยที่จุดต่อที่ 1, 2 และ 3 มีค่าเดียวกันคือ $u_1 = u_2 = u_3$ ตามลำดับ และมีแรงกระทำซึ่งอาจหมายถึงแรงจากภายนอก (external force) หรือแรงปฏิกิริยา (reaction force) เท่ากับ F_1 , F_2 และ F_3 ตามลำดับ เช่นกัน จากสมการของเอลิเมนต์ 2.23 เราได้สร้างเมट्रิกซ์ของความแข็งเกริงของเอลิเมนต์ที่มีพื้นที่หน้าตัดเท่ากับ A ค่าไม้คูลล์สของความยืดหยุ่นเท่ากับ E และความยาวเท่ากับ L ได้ดังนี้ คือ

$$[K]_e = \frac{AE}{L} \begin{bmatrix} 1 & -1 \\ -1 & 1 \end{bmatrix} \quad (2.23)$$

ดังนั้น เมटริกซ์ของความแข็งเกริงของเอลิเมนต์ที่ 1 คือ

$$[K]_{element1} = \begin{bmatrix} (1) & (2) \\ \frac{A_1 E_1}{L_1} & -\frac{A_1 E_1}{L_1} \\ -\frac{A_1 E_1}{L_1} & \frac{A_1 E_1}{L_1} \end{bmatrix} \quad (2.54)$$

และเมटริกซ์ของความแข็งเกริงของเอลิเมนต์ที่ 2 คือ

$$[K]_{element2} = \begin{bmatrix} (1) & (2) \\ \frac{A_2 E_2}{L_2} & -\frac{A_2 E_2}{L_2} \\ -\frac{A_2 E_2}{L_2} & \frac{A_2 E_2}{L_2} \end{bmatrix} \quad (2.55)$$

ดังนั้น เมื่อเรานำมาคำนวณของเอลิเมนต์ทั้งสองมาประกอบกัน จะก่อให้เกิดระบบสมการรวม ซึ่งประกอบด้วย 3 สมการบ่อบังนี้ คือ

$$\begin{bmatrix} \frac{A_1 E_1}{L_1} & -\frac{A_1 E_1}{L_1} & 0 \\ -\frac{A_1 E_1}{L_1} & \frac{A_1 E_1 + A_2 E_2}{L_1 + L_2} & -\frac{A_2 E_2}{L_2} \\ 0 & -\frac{A_2 E_2}{L_2} & \frac{A_2 E_2}{L_2} \end{bmatrix} \begin{Bmatrix} u_1 \\ u_2 \\ u_3 \end{Bmatrix} = \begin{Bmatrix} F_1 \\ F_2 \\ F_3 \end{Bmatrix} \quad (2.56)$$

โดยเวกเตอร์เมทริกซ์ ชี้งอญ์ทางด้านขวา มือของระบบสมการ (2.57) ประกอบด้วยแรงที่จุดต่อทั้ง 3 จุด
เนื่องจาก สำหรับอเลิมินด์ที่ 1

$$\frac{A_1 E_1}{L_1} = \frac{(0.002)(5 \times 10^7)}{0.5} = 2 \times 10^5 \text{ N/m}$$

และสำหรับอเลิมินด์ที่ 2

$$\frac{A_2 E_2}{L_2} = \frac{(0.001)(10 \times 10^7)}{1.0} = 1 \times 10^5 \text{ N/m}$$

ดังนั้นระบบสมการรวมดังแสดงในสมการ (2.56) จึงกลายเป็น

$$10^5 \begin{bmatrix} 2 & -2 & 0 \\ -2 & 3 & -1 \\ 0 & -1 & 1 \end{bmatrix} \begin{Bmatrix} u_1 \\ u_2 \\ u_3 \end{Bmatrix} = \begin{Bmatrix} F_1 \\ F_2 \\ F_3 \end{Bmatrix} \quad (2.57)$$

ก่อนที่จะทำการแก้ระบบสมการรวมนี้ เราจำเป็นต้องทำการประยุกต์เงื่อนไขขอบเขต (application of boundary conditions) ลงในระบบสมการดังกล่าวก่อน หลักการง่ายๆ ในการประยุกต์เงื่อนไขขอบเขตลงในระบบสมการรวมที่ประกอบด้วยหลายๆ สมการคือ ในสมการใดสมการหนึ่ง หากค่าเคลล์อันดับซึ่งอญ์ทางด้านซ้ายของสมการนั้นรู้ค่า นั่นหมายถึงว่าค่าแรงที่จุดต่อซึ่งอญ์ทางด้านขวาของสมการจะต้องเป็นตัวไม่รู้ค่า และทำนองกลับกัน หากค่าเคลล์อันดับซึ่งอญ์ทางด้านซ้ายของสมการนั้นเป็นตัวไม่รู้ค่า นั่นหมายถึงว่าค่าแรงที่จุดต่อซึ่งอญ์ทางด้านขวาของสมการนั้นจำเป็นต้องรู้ค่า ในตัวอย่างนี้ เราสามารถสรุปได้ว่า

จุดต่อที่	ค่าเคลล์อันดับ	แรงกระทำ
1	$u_1 = 0$	$F_1 = ?$
2	$u_2 = 0$	$F_2 = 300$
3	$u_3 = 0$	$F_3 = 500$

ดังนั้นสมการ (2.57) จึงกลายเป็น

$$10^5 \begin{bmatrix} 2 & -2 & 0 \\ -2 & 3 & -1 \\ 0 & -1 & 1 \end{bmatrix} \begin{bmatrix} 0 \\ u_2 \\ u_3 \end{bmatrix} = \begin{bmatrix} F_1 \\ 300 \\ 500 \end{bmatrix} \quad (2.58)$$

จากนั้น เราสามารถใช้สมการที่ 2 และ 3 ของระบบสมการรวม (2.58) นี้ เพื่อกำหนดค่าค่าเฉลี่อนตัวที่จุดต่อ 2 และ 3 ออกมานี้ได้ คือ

$$\begin{aligned} u_2 &= 0.004 \quad \text{m} \\ u_3 &= 0.009 \quad \text{m} \end{aligned} \quad (2.59)$$

ผลของค่าเฉลี่อนตัวที่ได้นี้นำไปแทนกลับลงในสมการที่ 1 ของระบบสมการรวม (2.39) จะทำให้หาค่าแรงที่จุดต่อ 1 ได้ คือ

$$F_1 = -800 \quad \text{N} \quad (2.60)$$

ซึ่งก็คือ ค่าแรงปฎิกริยาที่จุดต่อ 1 นั้นเอง โดยเครื่องหมายลบบ่งบอกวิศวกรรมของแรงปฎิกริยานี้ไปในทางด้านซ้ายมือของรูป 2.27

ผลของค่าเฉลี่อนตัว ณ จุดต่อที่กำหนดได้ สามารถนำไปหาค่าความเด่นในแต่ละอุลิเมน์ทได้โดยใช้กฎของสูตร จากสมการ (2.20) กล่าวคือ

$$\begin{aligned} \sigma_{\text{element}} &= E_1 \varepsilon_1 = E_1 \frac{u_2 - u_1}{L_1} \\ &= (5 \times 10^7) \frac{(0.004 - 0)}{0.5} \\ &= 400,000 \quad \text{N/m}^2 \end{aligned}$$

ทำงานองค์ประกอบกัน

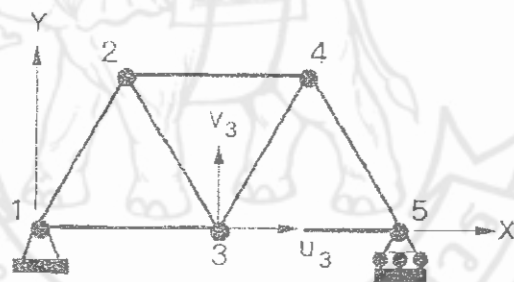
$$\begin{aligned} \sigma_{\text{element2}} &= E_2 \varepsilon_2 = E_2 \frac{u_3 - u_2}{L_2} \\ &= (10 \times 10^7) \frac{(0.009 - 0.004)}{1.0} \\ &= 500,000 \quad \text{N/m}^2 \end{aligned}$$

$$\begin{array}{lcl}
 \text{ค่าความเค้นที่คำนวณได้สามารถนำไปคำนวณหแรงภายในэлементต่อไปได้ คือ} \\
 \text{แรงภายในэлементที่ 1} & = & \sigma_1 A_1 = (400,000)(.002) \\
 & = & 800 \quad \text{N} \\
 \text{แรงภายในэlement ที่ 2} & = & \sigma_2 A_2 = (500,000)(.001) \\
 & = & 500 \quad \text{N}
 \end{array}$$

การแปลงเมตริกซ์ของэlement

ปัญหาที่ต้องทำการแปลงเมตริกซ์

หลักการค่างๆ ของวิธีการไฟไนต์эlement ในรูปทรงหนึ่งมิคิ กล่าวคือ ณ จุดต่อๆ กันต่อหนึ่ง จะมีด้วนไม่ทราบค่าเพียงหนึ่งตัว ในทางปฏิบัติจำนวนด้วนไม่รู้ค่า (*unknowns*) ที่จุดต่อจะขึ้นอยู่กับลักษณะของปัญหาที่ต้องการแก่นั้นๆ เช่น ปัญหาทางโครงสร้างดังแสดงในรูป 2.29 ซึ่งอยู่ในระบบแกนรวมใหญ่ X-Y ที่จุดต่อหนึ่งจะประกอบด้วยด้วนไม่รู้ค่าทั้งหมด 2 ตัว เช่น ที่จุดต่อหมายเลข 3 จะประกอบด้วยค่าคลื่อนตัว u_3 , v_3 ในทิศทาง X และ v_3 ในทิศแกน Y ซึ่งทั้ง 2 ตัวนี้



รูป 2.29 ตัวอย่างปัญหาทางโครงสร้างในสองมิติ

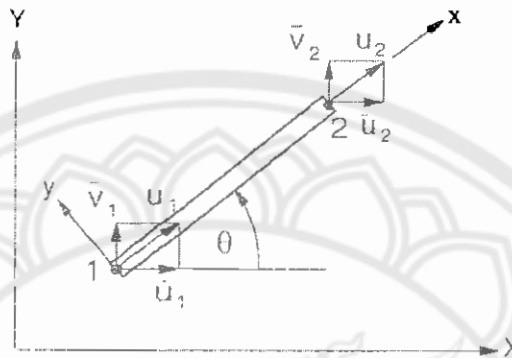
เป็นด้วนไม่รู้ค่าที่ต้องการในการคำนวณ u_3 และ v_3 ที่คำนวณหาได้นี้ จะบ่งบอกทั้งขนาดและทิศทางของการเคลื่อนตัวของจุดต่อหมายเลข 3 นี้ให้โดยสมบูรณ์ ดังนั้น จากปัญหาทางโครงสร้างในสองมิติดังแสดงในรูป 2.29 มีเพียง 5 จุดต่อ แต่จะมีด้วนไม่รู้ค่า (ก่อนทำการกำหนดคุณภาพที่ขอบเขต) ถึง 10 ตัว ซึ่งหมายถึงจะมีระบบสมการซึ่งประกอบด้วยจำนวนสมการถึง 10 สมการ นั้นคือ เราสามารถสรุปได้ว่า

$$\text{NEQ} = \text{NUMNP} * \text{NDOF} \quad (2.61)$$

โดย NEQ คือ จำนวนสมการ (number of equation), NUMNP คือ จำนวนจุดต่อทั้งหมด (number of nodal points) และ NDOF คือ จำนวนระดับขั้นความเสรี (number of degrees of freedom) ของแต่ละจุดต่อนั้น อนึ่ง หากปัญหาในรูป 2.29 เป็นโครงสร้างอว拉斯 [6, 7] ซึ่งต้องการคำนวณอุณหภูมิที่จุดต่อ เช่นนี้แต่ละจุดต่อจะมีเพียง 1 DOF ซึ่งหมายถึงจำนวนสมการทั้งหมด (NEQ) จะมีเพียง 5 สมการเท่านั้น เป็นต้น

วิธีการแปลงเมตริกซ์

หากเราขอนกลับมาขั้นปัญหาโครงสร้างในสองมิติที่ต้องการคำนวณค่าเกลี่องตัวที่จุดต่อต่างโดยแต่ละจุดต่อมีค่าเกลี่องตัวทั้งในแกน X และแกน Y เช่น หากเราพิจารณาอelistment แบบอย่างที่ค่าระหว่างจุดต่อ 1 และ 2 ในรูป 2.29 ซึ่งทำมุม θ กับแกน X เราสามารถนำมาแสดงได้โดยละเอียดได้ดังในรูป 2.30



รูป 2.30 ค่าเกลี่องตัวที่จุดต่อในระบบแกนรวมใหญ่และแกนย่อย

โดย u_1 และ u_2 เป็นค่าเกลี่องตัวจุดต่อ 1 และ 2 ในแนวของอelistment ซึ่งอยู่ในทิศแกนย้อย x และ \bar{u}_1 , \bar{v}_1 และ \bar{u}_2 , \bar{v}_2 เป็นค่าเกลี่องตัวที่จุดต่อ 1 และ 2 เช่นกันแต่อยู่ในทิศทางของระบบแกนรวมใหญ่ X-Y จาก รูป 2.30 นี้เราจะเห็นว่าความสัมพันธ์ระหว่างค่าเกลี่องตัวที่จุดต่อของระบบแกนย้อยและแกนใหญ่ คือ

$$u_1 = \bar{u}_1 \cos \theta + \bar{v}_1 \sin \theta \quad (2.62)$$

$$u_2 = \bar{u}_2 \cos \theta + \bar{v}_2 \sin \theta \quad (2.63)$$

ทั้ง 2 สมการนี้สามารถเขียนให้อยู่ในรูปของเมตริกซ์ได้ คือ

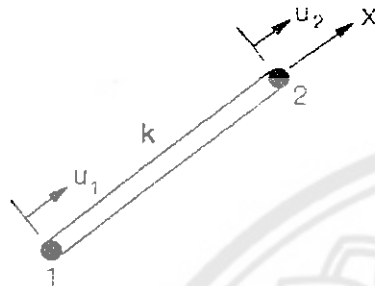
$$\begin{Bmatrix} u_1 \\ u_2 \end{Bmatrix}_{(2 \times 1)} = \begin{bmatrix} \cos \theta & \sin \theta & 0 & 0 \\ 0 & 0 & \cos \theta & \sin \theta \end{bmatrix} \begin{Bmatrix} \bar{u}_1 \\ \bar{v}_1 \\ \bar{u}_2 \\ \bar{v}_2 \end{Bmatrix}_{(4 \times 1)} \quad (2.64)$$

ซึ่งเขียนสั้นๆ ได้เป็น

$$\begin{Bmatrix} u \\ u \end{Bmatrix}_{(2 \times 1)} = \begin{bmatrix} R \end{bmatrix}_{(2 \times 4)} \begin{Bmatrix} \bar{u} \\ \bar{v} \end{Bmatrix}_{(4 \times 1)} \quad (2.65)$$

โดย $\{u\}$ และ $\{\bar{u}\}$ คือ เวกเตอร์เมตริกซ์ที่ประกอบด้วยค่าเกลี่องตัวที่จุดต่อในแนวแกนของอelistment และในแนวแกนรวมใหญ่ X-Y ตามลำดับ และ $[R]$ คือ เมตริกซ์ของการแปลงค่าเกลี่องตัวที่จุดต่อระหว่างแนวแกนย้อยและระบบแกนรวมใหญ่

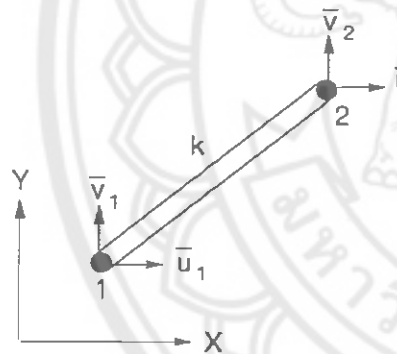
หากเอลิเมนต์วางตัวอยู่ในแนวแกนย่อ y และค่าเคลื่อนตัวที่จุดปลายทั้งสองของเอลิเมนต์ คือ u_1 และ u_2 ดังแสดงในรูป 2.31 สมการของเอลิเมนต์จะมีเพียงแค่ 2 สมการเช่นเดียวกับสมการ (2.25) โดยทางด้านซ้ายมือของสมการจะอยู่ในรูป



$$[K]_{(2 \times 2)} \{u\} = \begin{bmatrix} k & -k \\ -k & k \end{bmatrix} \begin{Bmatrix} u_1 \\ u_2 \end{Bmatrix}$$

รูป 2.31 เอลิเมนต์ในแนวแกนย่อ y

แต่หากเอลิเมนต์ดังกล่าวอยู่ในระบบแกนรวมใหญ่ X – Y โดยที่ปลายจุดต่อมีค่าเคลื่อนตัวที่ไม่ทราบค่าอยู่ทั้งหมด 4 ค่า คือ \bar{u}_1 , \bar{v}_1 , \bar{u}_2 , \bar{v}_2 ดังแสดงในรูป 2.32 ดังนั้นสมการของเอลิเมนต์จะมีทั้งหมด 4 สมการโดยทางด้านซ้ายมือของสมการจะอยู่ในรูป

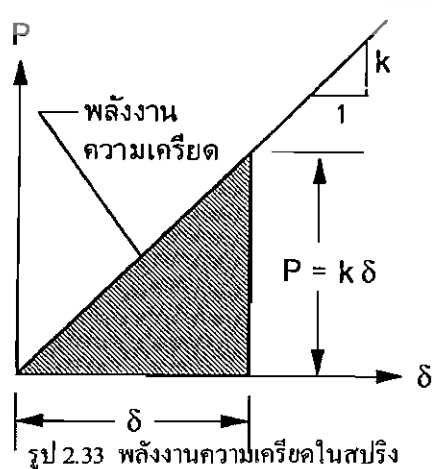


$$[\bar{K}]_{(4 \times 4)} \{\bar{u}\} = \begin{bmatrix} \bar{u}_1 \\ \bar{v}_1 \\ \bar{u}_2 \\ \bar{v}_2 \end{bmatrix}$$

รูป 2.32 เอลิเมนต์ในระบบแกนรวมใหญ่ X – Y

ในที่นี้ $[\bar{K}]$ คือ เมตริกซ์ของความแข็งแกร่งในระบบแกนรวมใหญ่ ซึ่งสามารถหาได้จากเมตริกซ์ของความแข็งแกร่งในแนวแกนย่อ y ได้โดยใช้วิธีการหลาฎาวิธี เช่น วิธี

เรขาคณิตของการเคลื่อนตัว (Geometry of displacements), วิธีการอนุรักษ์พลังงานความเครียด (Conservation of strain energy) เป็นต้น การใช้วิธีการอนุรักษ์พลังงานความเครียด เป็นวิธีที่ง่ายในการทำความเข้าใจ และสามารถนำไปใช้ในการหาสมการของเอลิเมนต์ใน 3 มิติ ได้โดยตรง วิธีการนี้เริ่มจากค่านิยามของพลังงานความเครียด (strain energy) ที่ว่าหาก



รูป 2.33 พลังงานความเครียดในสปริง

เราออกแรงดึง P ลงบนสปริงที่มีค่าความแข็งเกร็งเท่ากับ k แล้วสปริงยืดตัวออกเท่ากับ δ ค่าพลังงานความเครียดคือ พื้นที่สามเหลี่ยมได้กราฟ $P - \delta$ นั้น ดังแสดงในรูป 2.33 นั่นคือ

$$U = \frac{1}{2} k \delta^2 \quad (2.66)$$

โดย U แทนค่าพลังงานความเครียดเนื่องจาก การยืดตัว $\delta = u_1 - u_2$ ดังนั้น

$$\begin{aligned} U &= \frac{1}{2} k(u_1 - u_2)^2 \\ &= \frac{1}{2} k(u_1^2 - 2u_1u_2 + u_2^2) \\ &= \frac{1}{2} \underbrace{\begin{bmatrix} u_1 & u_2 \end{bmatrix}}_{(1 \times 2)} \underbrace{\begin{bmatrix} k & -k \\ -k & k \end{bmatrix}}_{(2 \times 2)} \underbrace{\begin{bmatrix} u_1 \\ u_2 \end{bmatrix}}_{(2 \times 1)} \end{aligned}$$

$$U = \frac{1}{2} \underbrace{\begin{bmatrix} u_1 \\ u_2 \end{bmatrix}}_{(1 \times 2)}^T \underbrace{\begin{bmatrix} k & -k \\ -k & k \end{bmatrix}}_{\text{เมตริกซ์ความแข็งเกร็ง}} \underbrace{\begin{bmatrix} u_1 \\ u_2 \end{bmatrix}}_{(2 \times 1)}$$

ในแนวแกนย่อ X

นั่นคือ พลังงานความเครียดในสปริง คือ

$$U = \frac{1}{2} \underbrace{\{u\}}_{(1 \times 2)}^T \underbrace{[K]}_{(2 \times 2)} \underbrace{\{u\}}_{(2 \times 1)} \quad (2.67)$$

แต่จากสมการ (2.65) ความสัมพันธ์ระหว่างเวกเตอร์ของค่าเคลื่อนตัวในแนวแกนย่อ $\{u\}$ และค่าเคลื่อนตัวในระบบแกนรวมใหญ่ $\{\bar{u}\}$ คือ

$$\underbrace{\{u\}}_{(2 \times 1)} = \underbrace{[R]}_{(2 \times 4)} \underbrace{\{\bar{u}\}}_{(4 \times 1)} \quad (2.68)$$

โดย $[R]$ แทนเมตริกซ์การแปลงค่า หากเราแทนสมการ (2.65) ลงในสมการ (2.68) เราจะได้

$$\begin{aligned} U &= \frac{1}{2} ([R]\{u\})^T [K] ([R]\{\bar{u}\}) \\ U &= \frac{1}{2} \underbrace{\{u\}}_{(1 \times 4)}^T \underbrace{[R]^T}_{(4 \times 2)} \underbrace{[K]}_{(2 \times 2)} \underbrace{[R]}_{(2 \times 4)} \underbrace{\{u\}}_{(4 \times 1)} \\ &\quad \text{เมตริกซ์ความแข็งเกร็ง} \\ &\quad \text{ในระบบแกนรวมใหญ่ } X-Y \end{aligned}$$

$$U = \frac{1}{2} \begin{matrix} \{u\}^T \\ (1 \times 4) \end{matrix} \begin{bmatrix} \bar{K} \\ (4 \times 4) \end{bmatrix} \begin{matrix} \{\bar{u}\} \\ (4 \times 1) \end{matrix} \quad (2.69)$$

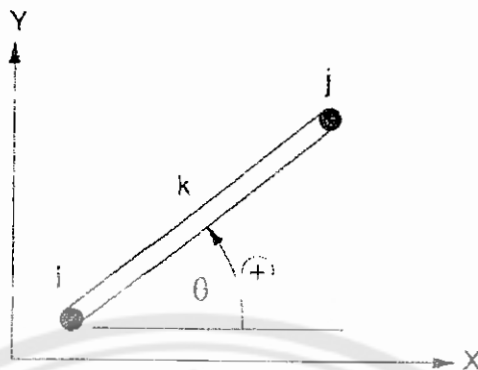
เนื่องจากพัฒนาความเครียด (สมการ (2.68) และ (2.69)) ไม่เปลี่ยนแปลงไม่ว่าปริ
จะอยู่ในระบบแกนใด ดังนั้น เมตริกซ์ความแข็งเกร็งที่มีขนาด (4×4) ในระบบแกนรวมใหญ่ X-Y คือ

$$\begin{aligned} \begin{bmatrix} \bar{K} \end{bmatrix}_{(4 \times 4)} &= \begin{bmatrix} \{R\}^T \\ (1 \times 4) \end{bmatrix} \begin{bmatrix} K \\ (2 \times 2) \end{bmatrix} \begin{bmatrix} \{\bar{u}\} \\ (2 \times 4) \end{bmatrix} \\ &= \begin{bmatrix} \cos \theta & 0 \\ \sin \theta & 0 \\ 0 & \cos \theta \\ 0 & \sin \theta \end{bmatrix} \begin{bmatrix} k & -k \\ -k & k \end{bmatrix} \begin{bmatrix} \cos \theta & \sin \theta & 0 & 0 \\ 0 & 0 & \cos \theta & \sin \theta \end{bmatrix} \\ \begin{bmatrix} \bar{K} \end{bmatrix} &= \begin{bmatrix} \cos^2 \theta & \sin \theta \cos \theta & \cos^2 \theta & -\sin \theta \cos \theta \\ \sin^2 \theta & \sin^2 \theta & -\sin \theta \cos \theta & \sin^2 \theta \\ 0 & 0 & \cos^2 \theta & \sin \theta \cos \theta \\ 0 & 0 & \sin \theta \cos \theta & \sin^2 \theta \end{bmatrix} \quad (2.70) \\ &\text{Sym} \end{aligned}$$

การแปลงเมตริกซ์ของออดิเมนต์ เราสามารถสรุปได้ว่า หากเรารู้ค่าเมตริกซ์ความแข็งเกร็งของออดิเมนต์
ในระบบแกนย่อ y กล่าวคือ

$$\begin{bmatrix} K \end{bmatrix}_{(2 \times 2)} = k \begin{bmatrix} 1 & -1 \\ -1 & 1 \end{bmatrix} \quad (2.71)$$

เราสามารถหาเมตริกซ์ความแข็งเกร็งของออดิเมนต์ $\begin{bmatrix} \bar{K} \end{bmatrix}$ ในระบบแกนรวมใหญ่ X-Y ได้ ดังแสดงในสมการ
(2.70) ค่าสัมประสิทธิ์ในเมตริกซ์ $\begin{bmatrix} \bar{K} \end{bmatrix}$ นี้ขึ้นอยู่กับการวางตัวของออดิเมนต์นั้น โดยการวัดด้วยมุม θ จาก
แนวแกน X ในระบบแกนรวมใหญ่ X-Y โดยมีค่าเป็นบวกในทิศทางทวนเข็มนาฬิกา ดังแสดงในรูป 2.34

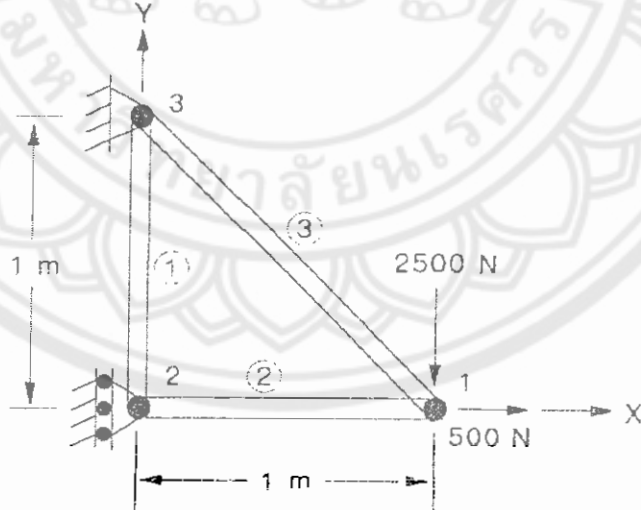


รูป 2.34 การวางแผนด้วยของอเลิมันต์โดยขั้นตอนที่ 3 วัดจากแนวแกน X
โดยมีค่าเป็นบวกในทิศทางทวนเข็มนาฬิกา

ตัวอย่างปัญหาโครงสร้างสองมิติ

เมตริกซ์ค่าความแข็งเกร็งของอเลิมันต์ ดังแสดงในสมการ (2.70) สามารถนำมาใช้ในการคำนวณหากการเคลื่อนตัวของโครงสร้างในรูปทรงสองมิติได้ ตัวอย่างต่อไปนี้

ตัวอย่างที่ 2.3 รูป 2.35 แสดงโครงสร้างซึ่งประกอบด้วยอเลิมันต์ท่อนจำนวน 3 ท่อน ซึ่งอยู่ในระบบ X-Y โดยต่อ กันที่จุดต่อทั้งหมด 3 จุด จุดต่อที่ 3 ถูกยึดทั้งในแกน X และ Y จุดต่อที่ 2 ถูกยึดในแนวแกน X แต่เดื่อนไปมาได้ในแนวแกน Y และจุดต่อที่ 1 มีแรงกระทำ 500 และ 2,500 N ในแนวแกนนอนและแนวตั้งตามลำดับ



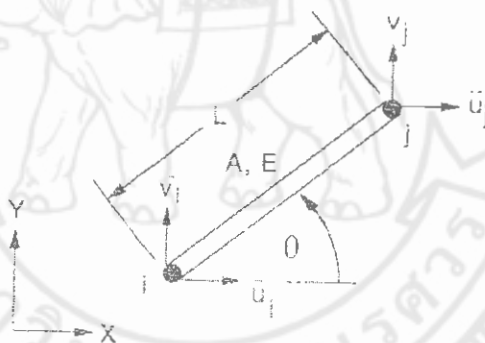
รูป 2.35 ตัวอย่างโครงสร้างสองมิติ

อเลิมันต์ทั้ง 3 ท่อนมีพื้นที่หน้าตัดและค่าโมดูลัสของความยืดหยุ่นต่างๆ กันดังนี้

ເອົມນຕໍ່	ພື້ນທີ່ຫນ້າຕັດ, A	ໂນໂລອສຂອງຄວາມຍືດຫຼຸ່ມ, E
ໜາຍເຂດ	(cm ²)	(N/cm ²)
1	5.0	10x10 ⁶
2	6.0	30 x 10 ⁶
3	4.0	30 x 10 ⁶

ໃຫ້ຄໍານວณຫາກາຮເຄລື່ອນຕັວຂອງໂຄຮງສຮ້າງນີ້ ແລະແຮງປົງກິຣີຍາທີ່ຝາຜນັງຮວມທັງຄໍາຄວາມເກັນໃນເອົມນຕໍ່ເຫດລຳນີ້

ວິທີກາຮກຳ ເຮັບວ່າ ພາກເຮົາມີເອົມນຕໍ່ທ່ອນທີ່ມີຈຸດຕ່ອງ i ແລະ j ທີ່ປ່າຍຂອງທັງສອງຊ້າງ ໂດຍວາງອູ້ໃນຮະນາບ X-Y ທຳມູນ θ ກັບແກນ X ດັ່ງແສດງໃນຮູບ 2.36



ຮູບ 2.36 ເອົມນຕໍ່ທ່ອນໃນຮະນາບ X-Y ມີຄໍາແກລື່ອນຕັວທີ່ໄມ້ຮູ້ຄ່າ
ທີ່ຈຸດຕ່ອງປ່າຍທັງສອງຮວມ 4 ຄ່າ

ເຮັບວ່າເນັມຕິກັນຂອງຄວາມເພິ່ນເກົ່າງຂອງເອົມນຕໍ່ ຄື້ອ

$$[\bar{K}]_{(4 \times 4)} = \frac{AE}{L} \begin{bmatrix} (\bar{u}_i) & (\bar{v}_i) & (\bar{u}_j) & (\bar{v}_i) \\ \cos^2 \theta & \sin \theta \cos \theta & \cos^2 \theta & -\sin \theta \cos \theta \\ & \sin^2 \theta & -\sin \theta \cos \theta & \sin^2 \theta \\ Sym & & \cos^2 \theta & \sin \theta \cos \theta \\ & & & \sin^2 \theta \end{bmatrix} \begin{pmatrix} (\bar{u}_i) \\ (\bar{v}_i) \\ (\bar{u}_j) \\ (\bar{v}_j) \end{pmatrix}$$

โดย A, E และ L กือ พื้นที่หน้าตัด, โมดูลัสของความยืดหยุ่น และความยาวของเอลิเมนต์ท่อนนั้นตามลำดับ จะเห็นได้ว่า เมตริกซ์ของความแข็งเกร็งของเอลิเมนต์ขึ้นอยู่กับตัวแปรหาดูดังกล่าวกือ จุดต่อ i, j , มุม θ , A, E และ L วิธีที่ทำให้สะดวกที่สุดคือการสร้างตารางดังนี้

เอลิเมนต์	AE/L	i	j	θ	$\cos \theta$	$\sin \theta$
1	$\frac{(5)(10 \times 10^6)}{100}$	3	2	-90°	0	-1
2	$\frac{(6)(30 \times 10^6)}{100}$	2	1	0°	1	0
3	$\frac{(4)(30 \times 10^6)}{100\sqrt{2}}$	1	3	135°	$-\frac{1}{\sqrt{2}}$	$\frac{1}{\sqrt{2}}$

ดังนั้น เมตริกซ์ของความแข็งเกร็งของเอลิเมนต์ 1 กือ

$$[K]_{element1} = \frac{(5)(10 \times 10^6)}{100} \begin{bmatrix} (\bar{u}_3) & (\bar{v}_3) & (\bar{u}_2) & (\bar{v}_2) \\ 0 & 0 & 0 & 0 \\ 0 & 1 & 0 & -1 \\ 0 & 0 & 0 & 0 \\ 0 & -1 & 0 & 1 \end{bmatrix} \begin{pmatrix} (\bar{u}_3) \\ (\bar{v}_3) \\ (\bar{u}_2) \\ (\bar{v}_2) \end{pmatrix}$$

ทำงานองค์ประกอบกัน เมตริกซ์ของความแข็งเกร็งของเอลิเมนต์ 2 กือ

$$[K]_{element2} = \frac{(6)(30 \times 10^6)}{100} \begin{bmatrix} (\bar{u}_2) & (\bar{v}_2) & (\bar{u}_1) & (\bar{v}_1) \\ 1 & 0 & -1 & 0 \\ 0 & 0 & 0 & 0 \\ -1 & 0 & 1 & 0 \\ 0 & 0 & 0 & 0 \end{bmatrix} \begin{pmatrix} (\bar{u}_2) \\ (\bar{v}_2) \\ (\bar{u}_1) \\ (\bar{v}_1) \end{pmatrix}$$

และ เมตริกซ์ของความแข็งเกร็งของเอลิเมนต์ 3 กือ

$$[K]_{\text{element}} = \frac{(4)(30 \times 10^6)}{100\sqrt{2}} \begin{bmatrix} (\bar{u}_1) & (\bar{v}_1) & (\bar{u}_3) & (\bar{v}_3) \\ \frac{1}{2} & -\frac{1}{2} & -\frac{1}{2} & \frac{1}{2} \\ -\frac{1}{2} & \frac{1}{2} & \frac{1}{2} & -\frac{1}{2} \\ -\frac{1}{2} & \frac{1}{2} & \frac{1}{2} & -\frac{1}{2} \\ \frac{1}{2} & -\frac{1}{2} & -\frac{1}{2} & \frac{1}{2} \end{bmatrix} \begin{pmatrix} (\bar{u}_1) \\ (\bar{v}_1) \\ (\bar{u}_3) \\ (\bar{v}_3) \end{pmatrix}$$

จากนั้นหากเราคำนวณค่าริกซ์ของความแข็งเกริงของแต่ละเอลิเมนต์มาประกอบกัน เราจะได้เมตริกซ์ระบบรวมซึ่งแทนความแข็งเกริงของโครงสร้างที่มีลักษณะดังแสดงในรูป 2.36 ดังนี้

$$[\bar{K}]_{\text{sys}} = 10^5 \begin{bmatrix} (\bar{u}_1) & (\bar{v}_1) & (\bar{u}_2) & (\bar{v}_2) & (\bar{u}_3) & (\bar{v}_3) \\ 18 + 3\sqrt{2} & -3\sqrt{2} & -18 & | & -3\sqrt{2} & 3\sqrt{2} \\ -3\sqrt{2} & 3\sqrt{2} & | & 3\sqrt{2} & -3\sqrt{2} & | \\ -18 & | & 18 & | & | & -5 \\ -3\sqrt{2} & 3\sqrt{2} & | & 3\sqrt{2} & -3\sqrt{2} & | \\ 3\sqrt{2} & -3\sqrt{2} & | & -5 & -3\sqrt{2} & | \\ & & & -3\sqrt{2} & 5 + 3\sqrt{2} & \end{bmatrix} \begin{pmatrix} (\bar{u}_1) \\ (\bar{v}_1) \\ (\bar{u}_2) \\ (\bar{v}_2) \\ (\bar{u}_3) \\ (\bar{v}_3) \end{pmatrix}$$

ดำเนินขั้นตอนต่อไปก็คือการประยุกต์เงื่อนไขของเขตเชื่อมเดียวกันกับที่ใช้ในตัวอย่าง 2.2 ดังนี้

จุดต่อที่	ค่าเคลื่อนตัว	แรงกระทำ
1	$\bar{u}_1 = ?$	$F_{\bar{u}_1} = 500$
	$\bar{v}_1 = ?$	$F_{\bar{v}_1} = -2,500$
2	$\bar{u}_2 = 0$	$F_{\bar{u}_2} = ?$
	$\bar{v}_2 = ?$	$F_{\bar{v}_2} = 0$
3	$\bar{u}_3 = 0$	$F_{\bar{u}_3} = ?$
	$\bar{v}_3 = ?$	$F_{\bar{v}_3} = ?$

นั่นคือ ระบบสมการจะมีลักษณะดังนี้

$$[K]_{yy} \quad (4 \times 4) = \begin{Bmatrix} \bar{u}_1 \\ \bar{v}_1 \\ 0 \\ \bar{v}_2 \end{Bmatrix} = \begin{Bmatrix} 500 \\ -2,500 \\ 0 \\ F_{\bar{u}_3} \\ F_{\bar{u}_4} \\ F_{\bar{v}_1} \end{Bmatrix} \quad (2.72)$$

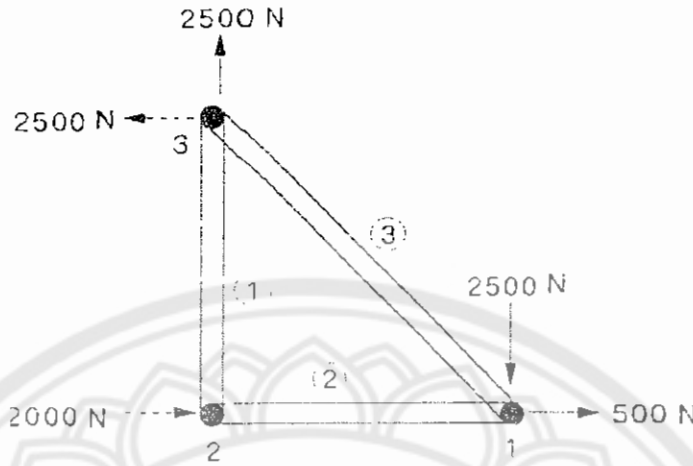
จากนั้นเราสามารถใช้สมการย่อที่ 1, 2 และ 4 ในระบบสมการรวม (2.72) นี้ เพื่อหาค่าของค่าคงตัว ซึ่งได้ผลลัพธ์ดังนี้

$$\begin{aligned} \bar{u}_1 &= -1.11111 \times 10^{-3} \text{ cm} \\ \bar{v}_1 &= -7.000367 \times 10^{-3} \text{ cm} \\ \bar{v}_2 &= 0 \text{ cm} \end{aligned}$$

จากนั้นจึงนำสมการย่อที่ 3, 5 และ 6 ในระบบสมการรวม (2.72) คำนวณแรงปฏิกิริยาออกมайдังนี้

$$\begin{aligned} F_{\bar{u}_2} &= 2000 \text{ N} \\ F_{\bar{u}_3} &= -2500 \text{ N} \\ F_{\bar{v}_1} &= 2500 \text{ N} \end{aligned}$$

ค่าคงตัวของแรงปฏิกิริยาที่ได้นี้ สามารถนาตรวจสอบว่าถูกต้องหรือไม่ เนื่องจากทั้ง โครงสร้างจำเป็นต้องอยู่ในสภาพสมดุล ถ้าหาก ผลรวมของแรงในแนวแกน X และแกน Y จำเป็นต้องเท่ากับศูนย์ ดังแสดงในรูปที่ 2.37

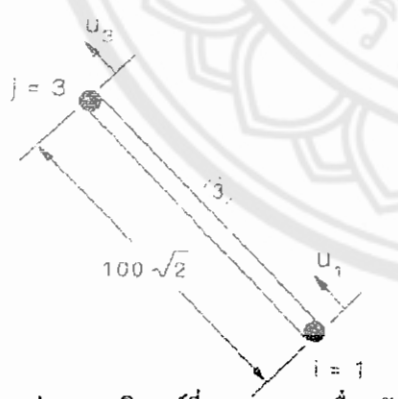


รูป 2.37 การตรวจสอบความถูกต้องของคำอุบเบื่องจากทั้งโครงสร้าง
ต้องอยู่ในสภาพสมดุล

เมื่อเราทราบค่าการเคลื่อนตัวที่จุดต่อต่างๆ เราจะสามารถหาความเก้นในэлементด้วยได้โดยใช้กฎของ
กฎ ดังนี้

$$\sigma = E\varepsilon = E \frac{u_j - u_i}{L}$$

โดย u_j และ u_i เป็นการเคลื่อนที่จุดต่อในแนวของэлементนั้น ดังทั่วไป เช่น ค่าความเก้นในэlementที่ 3
คือ



รูป 2.38 เอลิเมนต์ที่ 3 และการเคลื่อนตัว
ของจุดอ่อนที่ปลายทั้งสอง

$$\sigma_{element3} = (30 \times 10^6) \frac{(u_3 - u_1)}{100\sqrt{2}} \quad (2.73)$$

ค่า u_1 และ u_3 ในสมการ (2.54) สามารถคำนวณมาได้จาก
ค่าเคลื่อนตัวที่จุดต่อ 1 และ 3 ในแนวแกน X และ Y ได้โดย
เมทริกซ์ $[R]$ ซึ่งเป็นเมทริกซ์ของการแปลงค่าเคลื่อนตัว ที่จัด
ต่อระหว่างแนวแกนย่อยของэlement กับระบบแกนรวมใหญ่
X-Y ดังนี้

$$\begin{matrix} \{u\} \\ (2 \times 1) \end{matrix} = \begin{bmatrix} R \\ (2 \times 4) \end{bmatrix} \begin{matrix} \{\bar{u}\} \\ (4 \times 1) \end{matrix}$$

$$\begin{aligned}
 \begin{Bmatrix} u_1 \\ u_2 \end{Bmatrix} &= \begin{bmatrix} \cos\theta & \sin\theta & 0 & 0 \\ 0 & 0 & \cos\theta & \sin\theta \end{bmatrix} \begin{Bmatrix} (\bar{u}_1) \\ (\bar{v}_1) \\ (\bar{u}_3) \\ (\bar{v}_3) \end{Bmatrix} \\
 &= \begin{bmatrix} -\frac{1}{\sqrt{2}} & \frac{1}{\sqrt{2}} & 0 & 0 \\ 0 & 0 & -\frac{1}{\sqrt{2}} & \frac{1}{\sqrt{2}} \end{bmatrix} \begin{Bmatrix} -1.1111 \times 10^{-3} \\ -7.1111 \times 10^{-3} \\ 0 \\ 0 \end{Bmatrix} \\
 &= \begin{Bmatrix} -4.16667 \times 10^{-3} \\ 0 \end{Bmatrix}
 \end{aligned}$$

ดังนั้น จากสมการ (2.73) ค่าความเก้นในэлементที่ 3 คือ

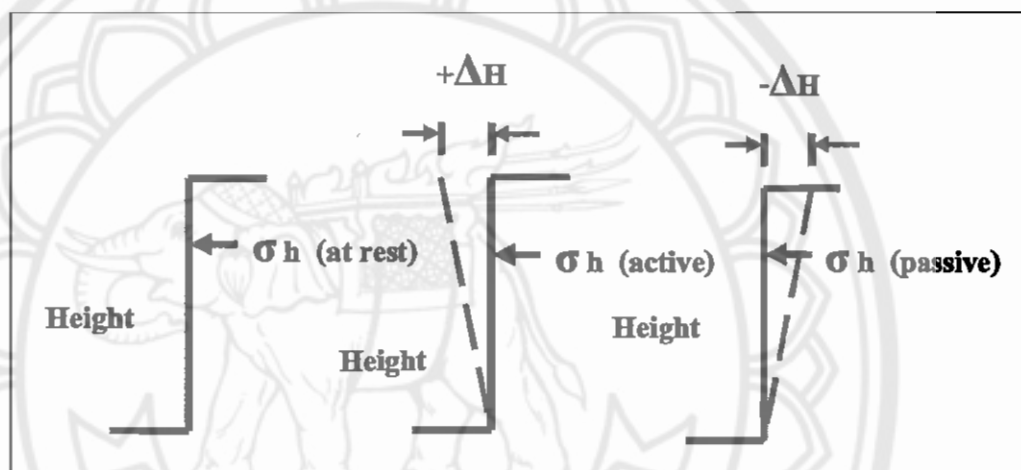
$$\begin{aligned}
 \sigma_{element3} &= \frac{(30 \times 10^6)(0 + 4.16667 \times 10^{-3})}{100\sqrt{2}} \\
 &= 884 \text{ N/cm}^2
 \end{aligned}$$

(อ้างอิงจากหนังสือไฟฟ้าในต์элементที่ในงานวิศวกรรม ผู้แต่ง ปราโมทย์ เศษะอําไฟ)

แรงดันด้านข้างของดิน

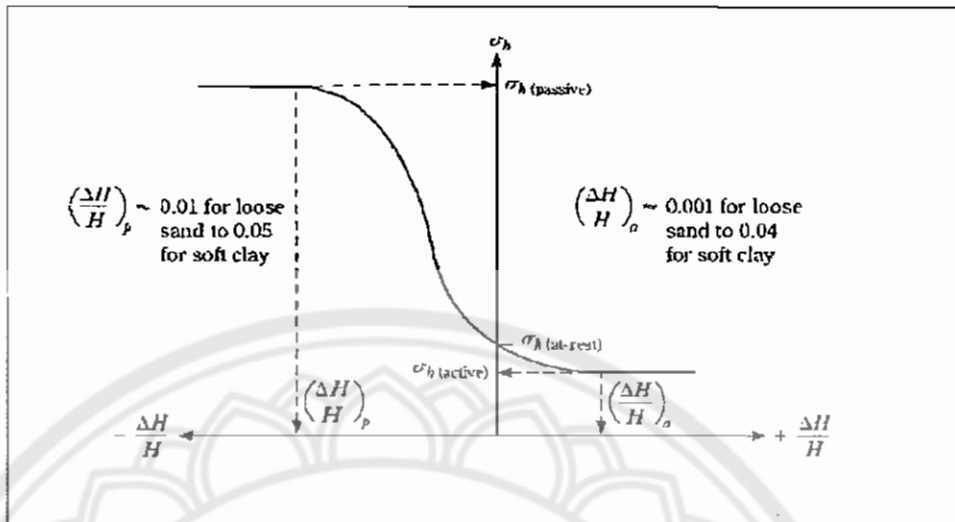
เมื่อต้องตัดคลาดดินในแนวคิ่งจำเป็นต้องใช้กำแพงกันดินหรือเข็มพีคสำหรับป้องกันการพังทลายของดินในการออกแบบโครงสร้างดังกล่าวหนึ่งต้องทราบค่าแรงดันด้านข้างของดิน ซึ่งแรงดันดินด้านข้างที่เกิดขึ้นจะมีค่าไม่เท่ากันขึ้นอยู่กับปัจจัยหลายประการดังนี้

- 1) ชนิดของกำแพงกันดินและลักษณะการเคลื่อนตัว
- 2) ค่า shear strength parameters ของดิน
- 3) ค่าหน่วงน้ำหนักของดิน
- 4) การระบายน้ำของดินหลังกำแพง



รูปที่ 2.39 แรงดันด้านข้างที่กระทำบนกำแพงกันดินที่สภาวะต่างๆ

ในรูปที่ 2.39 แสดงให้เห็นกำแพงกันดิน ความสูง H ในรูปที่ 2.39 (a) กำแพงกันดินไม่มีการเคลื่อนที่ แรงดันด้านข้างของดินที่สภาวะนี้ เรียกว่าแรงดันดินในสภาวะสมดุล (at rest) จากรูปที่ 2.39 (b) กำแพงมีการเคลื่อนที่อิ่งออกจากดินหลังกำแพง เมื่อกำแพงอิ่งออกห่างจากดินหลังกำแพงเพียงพอ จะทำให้ดินหลังกำแพงเกิดการวิบัติ แรงดันดินที่สภาวะนี้เรียกว่าแรงดันเชิงรุก (active earth pressure) และในรูปที่ 2.39 (c) เมื่อกำแพงถูกดันเคลื่อนเข้าหากันหลังกำแพงเพียงพอ จะทำให้ดินหลังกำแพงเกิดการวิบัติ แรงดันดินที่สภาวะนี้เรียกว่าแรงดันเชิงรับ (passive earth pressure) ในรูปที่ 2.40 แสดงให้เห็นแรงดันด้านข้างของดินที่สภาวะต่างๆ ของการเคลื่อนตัวของกำแพงกันดิน



รูปที่ 2.40 การเปลี่ยนแปลงของแรงดันด้านข้างของดินที่ $\Delta H/H$ ต่างๆ

แรงดันของดินธรรมชาติ (Bowles, 1988) เมื่อกำแพงกันดินอยู่ในสภาพสมดุล (State of Elastic Equilibrium) คือ ดินไม่มีการเคลื่อนที่หน่วยแรงในแนวตั้งที่ความลึกใด ๆ จะมีค่าเท่ากับความหนาแน่นของดิน คูณด้วย ความลึกของดินที่ตำแหน่งนั้น ส่วนหน่วยแรงในแนวราบมีความสัมพันธ์กับหน่วยแรงในแนวตั้ง โดยมีค่าสัมประสิทธิ์ซึ่งเรียกว่า สัมประสิทธิ์แรงดันทางด้านข้างเมื่อดินอยู่ในสภาพสมดุล (Coefficient of Lateral Earth Pressure at Rest, Ko) ดังนั้นแรงที่กระทำต่อกำแพงกันดิน ณ ความลึก H และ ดินมีความหนาแน่น γ จะมีค่าเท่ากับ

$$\sigma_h = Ko \gamma H \quad (2.74)$$

Bowles (1988) ได้ให้ค่า Ko นี้แตกต่างกันไปตามชนิดของดินดังนี้

Normally Consolidated Clay $Ko = 0.5 - 0.75$

Over-consolidated Clay $Ko = 1.0$

Loose Sand $Ko = 0.4$

Dense Sand $Ko = 0.6$

พิจารณากำแพงกันดินในแนวตั้ง ความสูง H ดังรูปที่ 2.41 เมื่อดินหลังกำแพงมีหน่วยน้ำหนัก γ และรับแรงกระทำแบบแผ่กระชาบคงที่ เท่ากับ q ที่ผิวดินค่ากำลังรับแรงเนื้อนของดินคือ

$$\tau = C + \sigma' \tan \phi \quad (2.75)$$

เมื่อ C = แรงขึ้นเหนี่ยของดิน (cohesion)

ϕ = มุมเสียดทานของดิน (angle of friction)

σ' = หน่วยแรงตึงฉากประสิทธิผล (effective normal stress)

ที่ระบบ z ใดๆ จากผิวดิน สามารถหาค่าหน่วยแรงดันในแนวดิ่งได้ดังนี้

$$\sigma_v = q + \gamma z \quad (2.76)$$

ถ้ากำแพงอยู่ในสภาวะสมดุล(at rest) และให้ σ_v' เป็นหน่วยแรงในแนวดิ่งประสิทธิผลและ σ

เป็นหน่วยแรงในแนวราบจะได้ความสัมพันธ์ว่า

$$\sigma_h = K_o \sigma_v' + u \quad (2.77)$$

เมื่อ u = แรงดันน้ำในดิน (pore water pressure)

K_o = สัมประสิทธิ์แรงดันดินที่สภาวะสมดุล (at rest)

สำหรับดิน normally consolidated soil Jaky(1944) ได้ให้ความสัมพันธ์โดยประมาณ
ตามสมการ

$$K_o \approx 1 - \sin \phi' \quad (2.78)$$

Brooker และ Ireland (1965) ได้ให้สมการสำหรับหา K_o โดยประมาณสำหรับดิน normally consolidated clays ดังนี้

$$K_o \approx 0.95 - \sin \phi' \quad (2.79)$$

เมื่อ ϕ' = มุมเสียดทานของดินที่ได้จากการทดสอบแบบรากนายน้ำ

จากการทดลองของ Brooker และ Ireland (1965) ค่า K_0 สำหรับดิน normally consolidated clays ยังสามารถหาได้จากความสัมพันธ์กับค่า PI ดังนี้

$$K_0 = 0.40 + 0.007 (\text{PI}) \quad \text{เมื่อ PI มีค่า ตั้งแต่ } 0 \text{ ถึง } 40$$

$$K_0 = 0.64 + 0.001 (\text{PI}) \quad \text{เมื่อ PI มีค่า ตั้งแต่ } 40 \text{ ถึง } 80$$

สำหรับดิน overconsolidated elays หากำได้จากการสัมพันธ์ดังนี้

$$\frac{K_o}{(o\text{(overconsolidated)})} \approx \frac{K_o}{(n\text{(normally consolidated)})} \approx \text{OCR}$$

เมื่อสร้างกำแพงกันดินแล้วมวลดินจะส่งแรงกระทำด้านข้างคือกำแพงกันดิน ทำให้ตัวกำแพงกันดินเคลื่อนที่ออกจากมวลดิน และ ดินจะเกิดการขยายตัวแรงกระทำของดินในลักษณะนี้ เรียกว่า แรงดันดินเชิงรุก(Active Lateral Earth Pressure) การเคลื่อนที่ของส่วนบนของกำแพงกันดินจะต้องมากพอที่จะทำให้เกิดแรงกระทำของดินมีค่าโดยประมาณ ดังนี้ (Bowles, 1988)

ชนิดและสภาพของดิน

ดินที่ไม่มีแรงยึดเหนี่ยวในสภาพแน่น

ปริมาณการเคลื่อนที่

0.001 H ถึง 0.002 H

ดินที่ไม่มีแรงยึดเหนี่ยวในสภาพหลวม

0.002 H ถึง 0.004 H

ดินที่มีแรงยึดเหนี่ยวในสภาพแข็ง

0.01 H ถึง 0.02 H

ดินที่มีแรงยึดเหนี่ยวในสภาพอ่อน

0.02 H ถึง 0.05 H

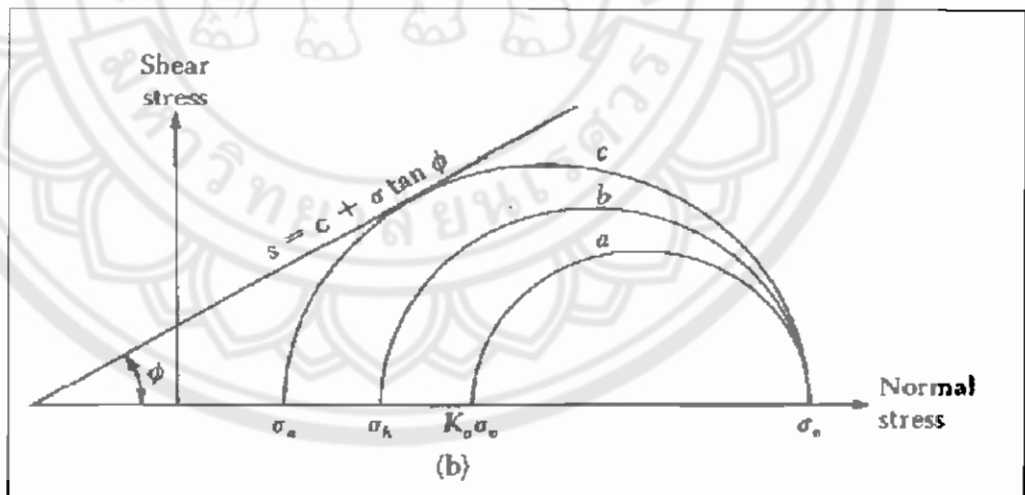
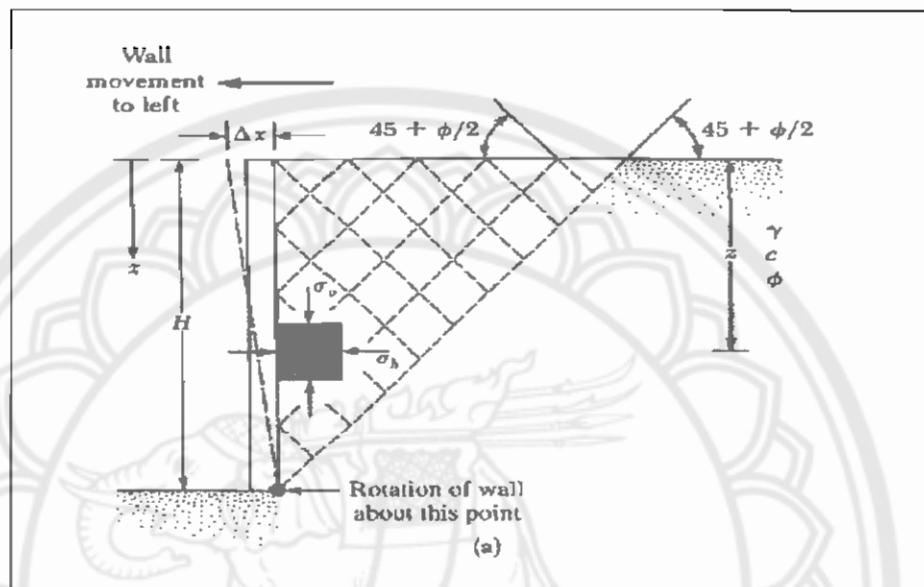
จากรูปที่ 2.41(a) ถ้ากำแพงกันดินเคลื่อนที่ออกจากดินด้านหลังเป็นระยะ Δx แรงดันด้านข้างของดินหลังกำแพงจะมีค่าลดลงเมื่อไม่มีความผิดระหว่างกำแพงกับดิน แรงดันด้านข้างจะมีค่าเท่ากับ แรงดันที่สภาวะสมดุล

$$(\sigma_h = K_s \sigma_v) \quad \text{เมื่อ } \Delta x = 0 \text{ อย่างไรก็ตาม } \Delta x > 0 \text{ ค่าแรงดันด้านข้างของดินจะน้อยกว่า } K_s \sigma_v$$

จากรากของมอร์ในรูปที่ 2.41 (b) วงกลม a และวงกลม b แทนที่สภาวะ $\Delta x = 0$ และ $\Delta x > 0$ ตามลำดับ และถ้า Δx ยังเพิ่มขึ้นจะทำให้วงกลมของมอร์ สัมผัสถกับเส้นวินดิกของ มอร์-คูลอมบ์ (Mohr-Coulomb failure envelope) ซึ่งมีค่าตามสมการ

$$\tau = c + \sigma \tan \phi$$

ร่องว่างกลมนี้คือวงกลม c ในรูปที่ 2.41 (b) ซึ่งเป็นสภาวะที่ก่อให้เกิดการวินัดขึ้นในมวลดิน โดยแรงดันดินในแนวราบมีค่าเท่ากับ σ_a ซึ่งค่า σ_a นี้เรียกว่า แรงดันเชิงรุก (active pressure) แนวการพิบัติที่เกิดขึ้นในมวลดินจะทำมุม $\pm (45 + \phi/2)$ กับแนวราบ ดังรูปที่ 2.41 (a)



รูปที่ 2.41 แรงดันดินเชิงรุก

จากสมการของกลมของมอร์ สามารถหาห่วงแรงหลัก (Principle stress) ของวงกลมที่สัมผัสกับเส้นวิบติของ มอร์-คูตอนนี้ได้ดังนี้

$$\sigma_1 = \sigma_3 \tan^2(45 + \phi/2) + 2c \tan(45 + \phi/2) \quad (2.80)$$

จากวงกลม c ในรูปที่ 2.41 (b) หน่วยแรงในระบบหลัก $\sigma_1 = \sigma_v$

หน่วยแรงในระบบรอง $\sigma_3 = \sigma_a$

ดังนั้น

$$\sigma_v = \sigma_a \tan^2(45 + \phi/2) + 2c \tan(45 + \phi/2)$$

$$\sigma_a = \frac{\sigma_v}{\tan^2(45 + \frac{\phi}{2})} - \frac{2c}{\tan(45 + \frac{\phi}{2})}$$

หรือ

$$\sigma_a = \sigma_v \tan^2(45 - \phi/2) - 2c \tan(45 - \phi/2)$$

$$= \sigma_v K_a - 2c \sqrt{K_a}$$

เมื่อ

$$K_a = \tan^2(45 - \phi/2) \text{ สัมประสิทธิ์แรงดันด้านข้างเชิงรุกของดิน}$$

(Coefficient of Active Lateral Earth Pressure)

พบว่า ที่ผิวดินความลึก $z = 0$ ค่า $\sigma_v = 0$ ดังนั้นจะได้ว่าค่าแรงดันเชิงรุกมีค่าเท่ากับ $-2c \sqrt{K_a}$ ซึ่งเป็นหน่วยแรงคง และหน่วยแรงดึงนี้จะมีค่าลดลงจนเป็นศูนย์ที่ความลึก $z = z_c$ ดังสมการ

$$\gamma z_c K_a - 2c \sqrt{K_a} = 0$$

หรือ

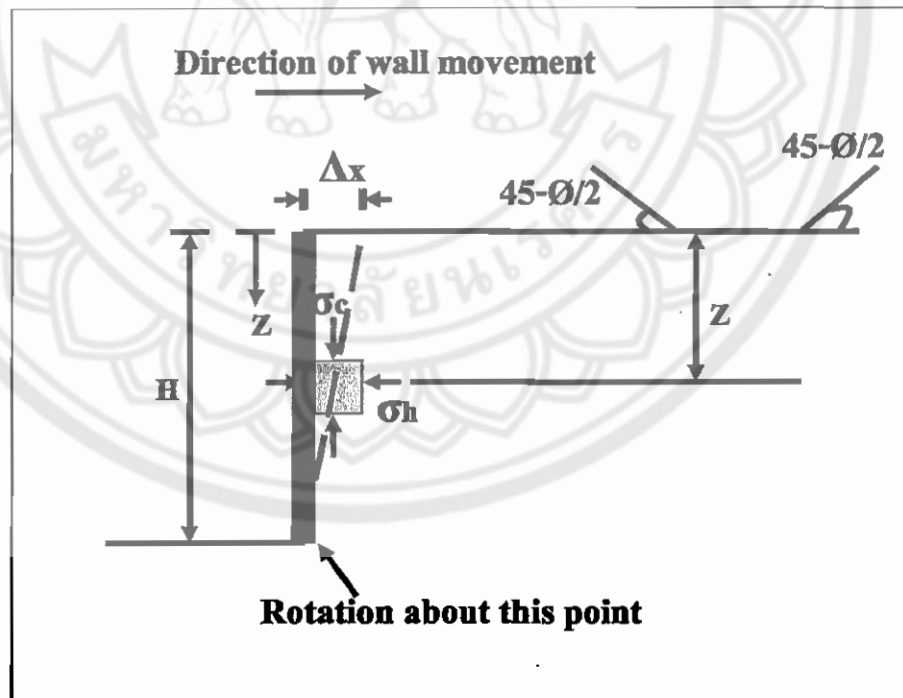
$$z_c = \frac{2c}{\gamma \sqrt{K_a}} \quad (2.81)$$

ความลึก z_c เรียกว่า ความลึกของ tensile crack เนื่องจากแรงดึงที่เกิดขึ้นในดิน จะทำให้เกิดรอยแตกขึ้นระหว่างดินกับกำแพง

แรงดันดินเชิงรับ ในกรณีที่ กำแพงกันดินเคลื่อนที่เข้าหากันวัสดุน้ำท่าให้มอลดินหลักด้วยกัน แรงดันข้างด้านท่านการเคลื่อนตัวของกำแพงกันดิน แรงกระทำของดินในลักษณะนี้ เรียกว่า แรงดันดินเชิงรับ (Passive Lateral Earth Pressure) การเคลื่อนที่ของส่วนบนของกำแพงกันดินที่จะทำให้เกิดแรงด้านท่านของมวลดินมีค่าโดยประมาณ ดังนี้ (Lambe, 1979)

ชนิดและสภาพของดิน	ปริมาณการเคลื่อนที่
ดินที่ไม่มีแรงขัดหนีบไว้ในสภาพแน่น	0.02 H
ดินที่ไม่มีแรงขัดหนีบไว้ในสภาพคลุม	0.15 H

ค่าสัมประสิทธิ์แรงดันทางด้านข้าง เมื่อมอลดินถูกกระทำ เรียกว่า K_p (Coefficient of Passive Lateral Earth Pressure) ค่าสัมประสิทธิ์แรงดันทางด้านข้าง จะเปลี่ยนจาก K_0 ไปเป็น K_a หรือ K_p มีความสัมพันธ์กับ ขนาด และทิศทาง การเคลื่อนที่ ของส่วนบนของกำแพงกันดิน



รูปที่ 2.42 แรงดันเชิงรับ

จากรูปที่ 2.42 เมื่อกำแพงกันดินอยู่ในแนวตั้ง และดินถมหลังกำแพงอยู่ในแนวราบที่ความลึก z จากผิวดิน ค่าแรงดันในแนวตั้งของดินสามารถคำนวณได้จาก $\sigma_v = \gamma z$ ถ้ากำแพงกันดินไม่เคลื่อนที่ แรงดันด้านข้างของดินจะอยู่ที่สภาวะสมดุล (at rest) คำนวณได้จาก $\sigma_h = K_v \sigma_v$ ที่สภาวะนี้ ในรูปที่ 2.42 และเมื่อกำแพงถูกดันเข้าหามวลตินเป็นระยะ Δx ค่าแรงดันในแนวตั้งมีค่าเท่าเดิมแต่ แรงดันในแนวราบจะเพิ่มขึ้น จนกระทั่งดินวิบติดเมื่อวงกลมสามเหลี่ยม Mohr-Coulomb Envelope

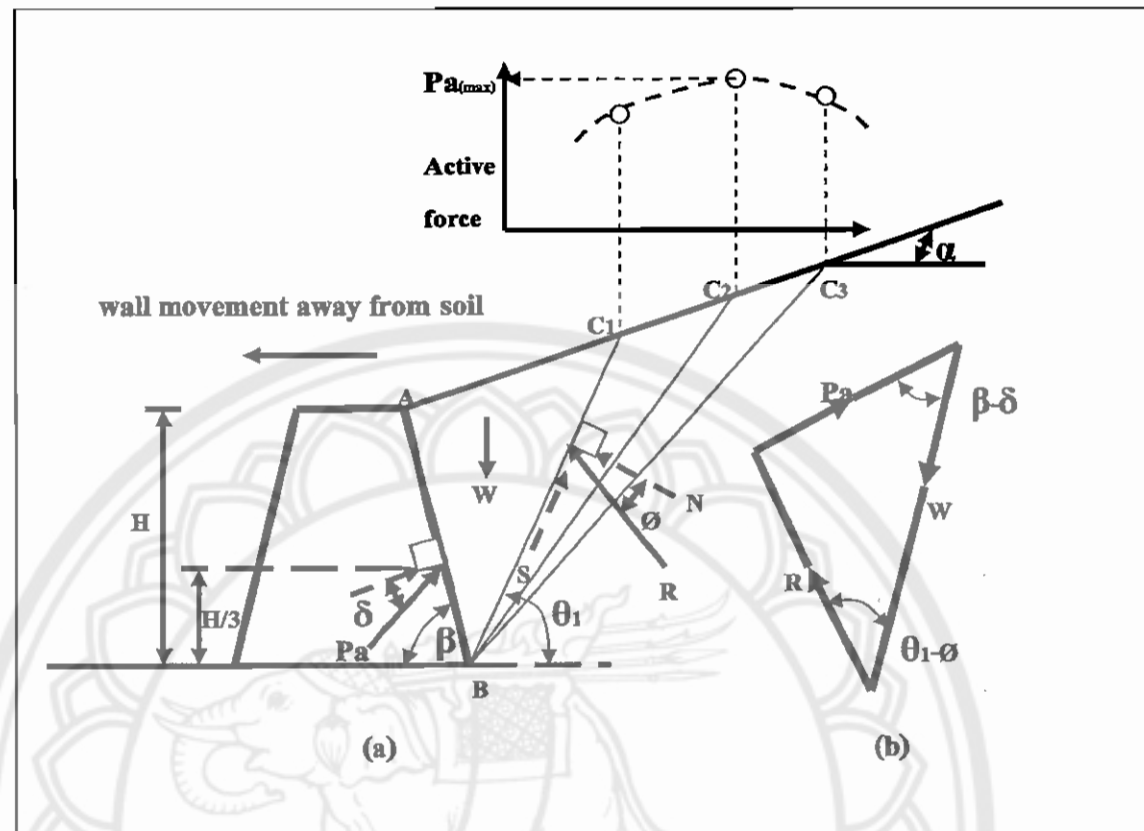
วงกลม C ค่าแรงดันด้านข้างของดินที่สภาวะนี้เรียกว่า แรงดันเชิงรับ (passive pressure) เมื่อให้ หน่วยแรงหลักคือ σ_p และหน่วยแรงรองคือ σ_v จะได้สมการดังนี้

$$\sigma_p = \sigma_v \tan^2(45 + \phi/2) + 2c \tan(45 + \phi/2) \quad (2.82)$$

ทฤษฎีแรงดันดินกรณีผิวดินมีความลาดชัน

ทฤษฎีแรงดันของมวลดินโดย Coulomb ในปี ก.ศ. 1776 Coulomb ได้ตั้งทฤษฎีแรงดันของมวล ดินขึ้น โดยมีสมมติฐานดังนี้

1. มวลดินมีคุณสมบัติเหมือนกันในทุกทิศทาง (Isotropic) และมีเนื้อเดียวกันตลอด (Homo-geneous) ประกอบด้วยแรงเสียดทานภายใน (Internal Friction) และ แรงยึดเหนี่ยว (Cohesion)
2. พื้นผิวของการวิบติดเป็นระนาบ (Plane) โดยที่ Coulomb เองได้คาดว่า ควรจะเป็นพื้นผิวโค้ง และ พื้นผิว ของดินที่ถมหลังกำแพงกันดินเป็นระนาบ โดยอาจมีความชันได้
3. แรงเสียดทานแห่งระยะอ่อน弱 สม่ำเสมอของคลอดพื้นผิวของการวิบติด และ ค่าแรงเสียดทาน ระหว่างเม็ดดินมีค่าสัมประสิทธิ์ของความเสียดทาน (f) เท่ากับ $\tan \phi$
4. พื้นผิวของการวิบติดเป็นวัตถุแข็ง (Rigid Body)
5. มีแรงเสียดทานระหว่างมวลดินและผิวของกำแพงกันดิน
6. พิจารณาการวิบติดเพียง 2 มิติ และการวิบติด พิจารณาเป็น Plane Strain



รูปที่ 2.43 แรงดันเชิงรุกของทฤษฎี Coulomb

ข้อเสียที่สำคัญ ของทฤษฎีของ Coulomb คือ ข้อสมมติที่ว่า มวลดินต้องเป็นมวลดินแบบ สมบูรณ์ (Ideal) และพื้นผิวของการวิบัติเป็นพื้นฐาน การเกิดแรงดันเชิงรุกในรูปที่ 2.43 จำเพาะจะต้องเกิดขึ้นที่ออกจากมวลดิน และ Coulomb ได้สมมุติฐานการวิบัติขึ้นตามแนว BC_1, BC_2, BC_3, \dots เพื่อหาแรงดันของคินหลังจำเพาะจนได้ค่าแรงดันสูงสุด $P_{a(\max)}$ ค่าแรงดันที่ได้นี้คือค่าแรงดันเชิงรุก ของ Coulomb ซึ่งเขียนเป็นสมการได้ดังนี้

$$P_a = \frac{1}{2} \gamma H^2 \cdot K_a$$

และ

$$P_p = \frac{1}{2} \gamma H^2 \cdot K_p$$

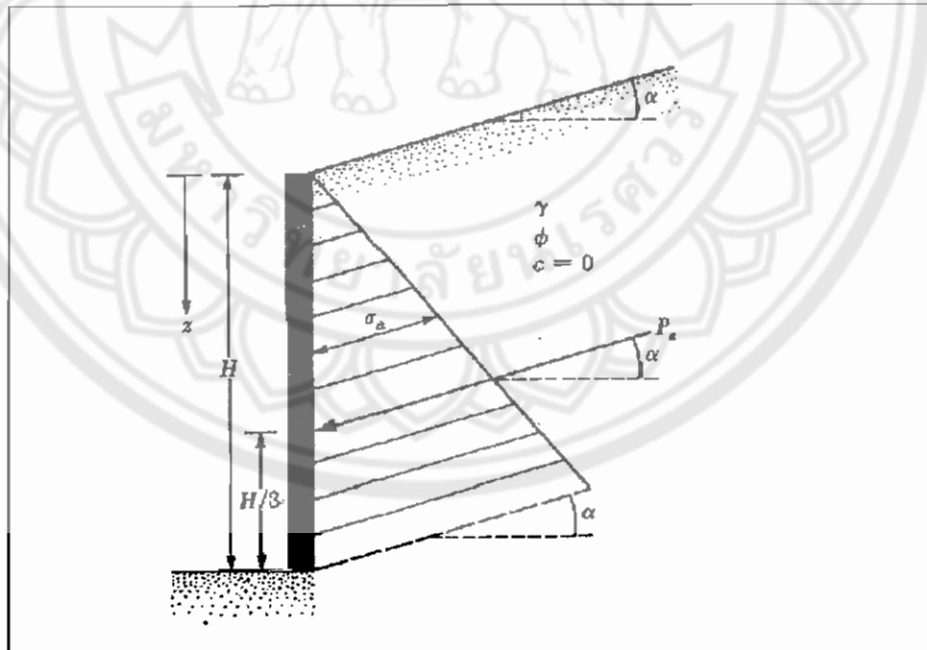
โดยที่

$$K_a = \frac{\sin^2(\beta + \phi)}{\sin^2(\beta) \cdot \sin(\beta - \delta) \cdot \left[1 + \sqrt{\frac{\sin(\phi + \delta) \cdot \sin(\phi - \alpha)}{\sin(\beta - \delta) \cdot \sin(\phi + \beta)}} \right]^2} \quad (2.83)$$

และ

$$K_p = \frac{\sin^2(\beta - \phi)}{\sin^2(\beta) \cdot \sin(\beta + \delta) \cdot \left[1 - \sqrt{\frac{\sin(\phi + \delta) \cdot \sin(\phi + \alpha)}{\sin(\beta + \delta) \cdot \sin(\phi + \beta)}} \right]^2} \quad (2.84)$$

ทฤษฎีแรงดันของมวลดินโดย Rankine (Bowles, 1988) ในปีค.ศ. 1857 Rankine ได้ตั้ง ทฤษฎี แรงดันของมวลดินขึ้น โดย พิจารณามวลดินในสภาวะสมดุลแบบพลาสติก และใช้สมมติฐานค่าฯ เช่นเดียวกับกับของ Coulomb แต่ไม่คำนึงถึงแรงยึดเหนี่ยวหรือ แรงเสียดทานระหว่างกำแพงกับมวลดิน ซึ่งทำให้การ พิจารณาปั๊บห่างจากจุดมาก ตัวแปรต่างๆที่ใช้ในการคำนวณและลักษณะของแรงดันดิน แสดงในรูปที่ 2.44 ดังนั้น จะได้ว่า



รูปที่ 2.44 แรงดันเชิงรุกของดินจากทฤษฎีของ Rankine

$$Pa = \frac{1}{2} \gamma H^2 \cdot K_a$$

และ

$$Pp = \frac{1}{2} \gamma H^2 \cdot K_p$$

โดยที่

$$K_a = \cos(\alpha) \cdot \frac{\cos(\alpha) - \sqrt{\cos^2(\alpha) - \cos^2(\phi)}}{\cos(\alpha) + \sqrt{\cos^2(\alpha) - \cos^2(\phi)}} \quad (2.85)$$

และ

$$K_p = \cos(\alpha) \cdot \frac{\cos(\alpha) + \sqrt{\cos^2(\alpha) - \cos^2(\phi)}}{\cos(\alpha) - \sqrt{\cos^2(\alpha) - \cos^2(\phi)}} \quad (2.86)$$

แรงดันดินเชิงรุก (Tschebotarioff, 1951) ถ้ามีการเปลี่ยนแปลง ระดับของดินธรรมชาติ จะเป็นโดยการขุด หรือ การถอน จะทำให้ ดินพวยขึ้นตัว ไปยังส่วนที่ต่ำกว่าการเปลี่ยนแปลง ระดับของดินนี้ จะมีความสูงจำกัด H_{cr} (Critical Height) ที่ดินยังสามารถอยู่ในสภาพสมดุล เนื่องจาก มีแรงด้านทันอันเกิดจาก แรงขึ้นเหนือ แรง แรงเสียดทาน ซึ่งสามารถหาได้ว่า

$$H_{cr} = \frac{4c}{\gamma} \cdot \tan(45 + \frac{\phi}{2}) \quad (2.87)$$

เมื่อเลขระดับของความสูงจำกัดนี้ เล็กกว่า ดินก็จะเกิดการวินาศี จึงจำเป็นต้องสร้างกำแพงกันดินขึ้น เพื่อป้องกันการวินาศีของดิน